



# Introducción a la Geofísica (geodesia)

Juan Carlos Báez

[jbaez@udec.cl](mailto:jbaez@udec.cl)

Dpto. Cs. Geodésicas y Geomática  
Campus Los Ángeles



# Resumen

- Definición de Geodesia
- Organización
- IAG
- Observaciones
- Parámetros geodésicos
- Sea level rise
- Atmosfera
- Deformación de la Tierra sólida



# ¿qué es geodesia?

- La geodesia es, según la definición de Helmert (1880), “la ciencia de la medición y representación cartográfica de la superficie terrestre”.
- Los objetivos tradicionales establecidos por esta definición fueron: la determinación de coordenadas de puntos y su gravedad, en un SGR.
- Por siglos la aplicación de los resultados geodésicos se concentró en los levantamientos para catastro, ingeniería, topografía, cartografía, etc.
- Mediante las mediciones geodésicas, cada vez más precisas, se detectaron variaciones de los resultados con el tiempo (p.ej. deformaciones) y efectos del ambiente (p.ej. refracción atmosférica).
- Hoy en día, la geodesia está en capacidad de aplicar las variaciones y los efectos ambientales observados para el control de la geodinámica y del clima.
- La geodesia se convirtió entonces en la ciencia de la medición del cambio global



# Organización

International Council for Science (ICSU)  
<http://www.icsu.org>

IAU

ISPRS

IUGG

...

IACS  
Criosfera

IAVCEI  
Volcanismo

IAHS  
Hidrología

IAPSO  
Oceanogr.

IAG  
Geodesia

IAMAS  
meteorología

IAPSPEI  
sismología

IAGA  
Magnetismo



# Asociación Internacional de Geodesia

## Estructura de IAG

Pres.: M. Sideris, Vice-Pres.: C. Rizos, Secr.Gen.: H. Drewes

### Comisiones

1 Reference Frames  
Pres.: Z. Altamimi

2 Gravity Field  
Pres.: Y. Fukuda

3 Geodynamics  
Pres.: M. Bevis

4 Applications  
Pres.: S. Verhagen

### Comité intercomisión

Theory, Pres.: N. Sneeuw

### Servicios científicos

IERS Chopo Ma	IDS G. Tavernier	IGS J. Dow	ILRS W. Gurtner	IVS H. Schuh	BIPM F. Arias	IBS A. Michlenz	IAS W. Bosch
------------------	---------------------	---------------	--------------------	-----------------	------------------	--------------------	-----------------

IGFS R. Forsberg	BGI S. Bonvalot	ICET J.-P. Barriot	ICGEM J. Kusche	IDEMS P. Berry	IGeS R. Barzaghi	PSMSL P. Woodworth
---------------------	--------------------	-----------------------	--------------------	-------------------	---------------------	-----------------------

### Sistema de observación global

Global Geodetic Observing System (GGOS), Pres.: M. Rothacher

4

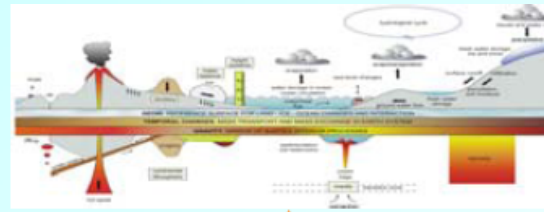




# Observaciones

## Observación del cambio global por métodos geodésicos

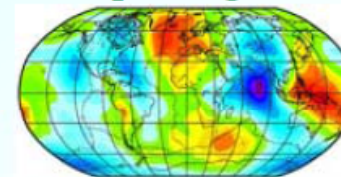
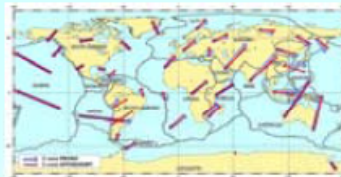
Procesos en la Tierra sólida: geodinámica (deformación)



Procesos en la atmósfera e hidrosfera: ciclo del agua

deformaciones

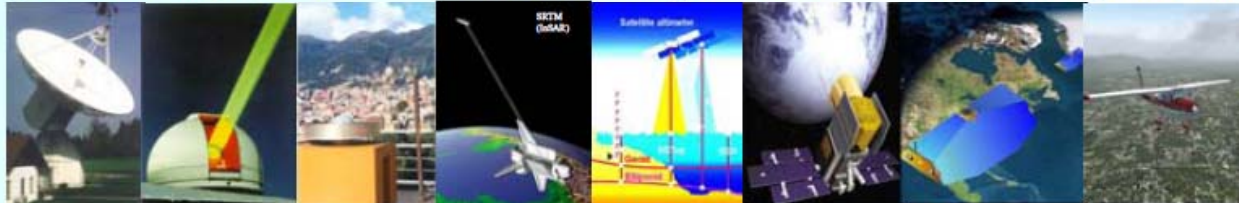
variaciones de rotación y del campo de gravedad



posicionar puntos

escanear superficies

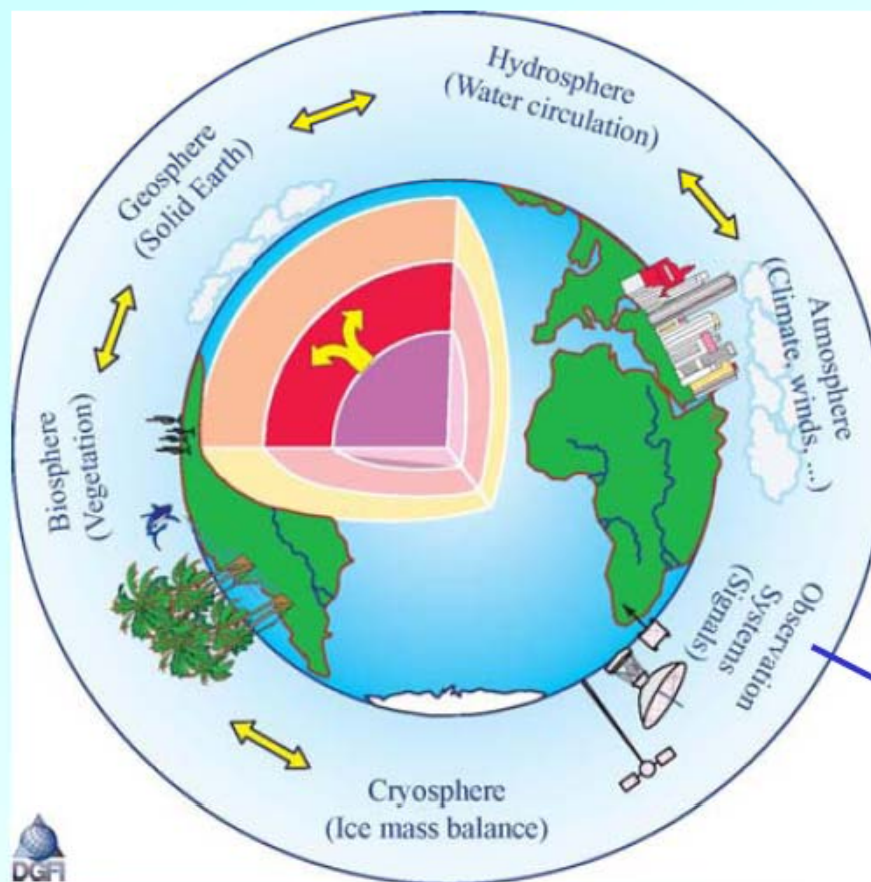
medir la gravedad





# Sistema Tierra

## Elementos e interacciones en el sistema terrestre



La geodinámica y el cambio global son procesos dentro de y entre los elementos del sistema terrestre:

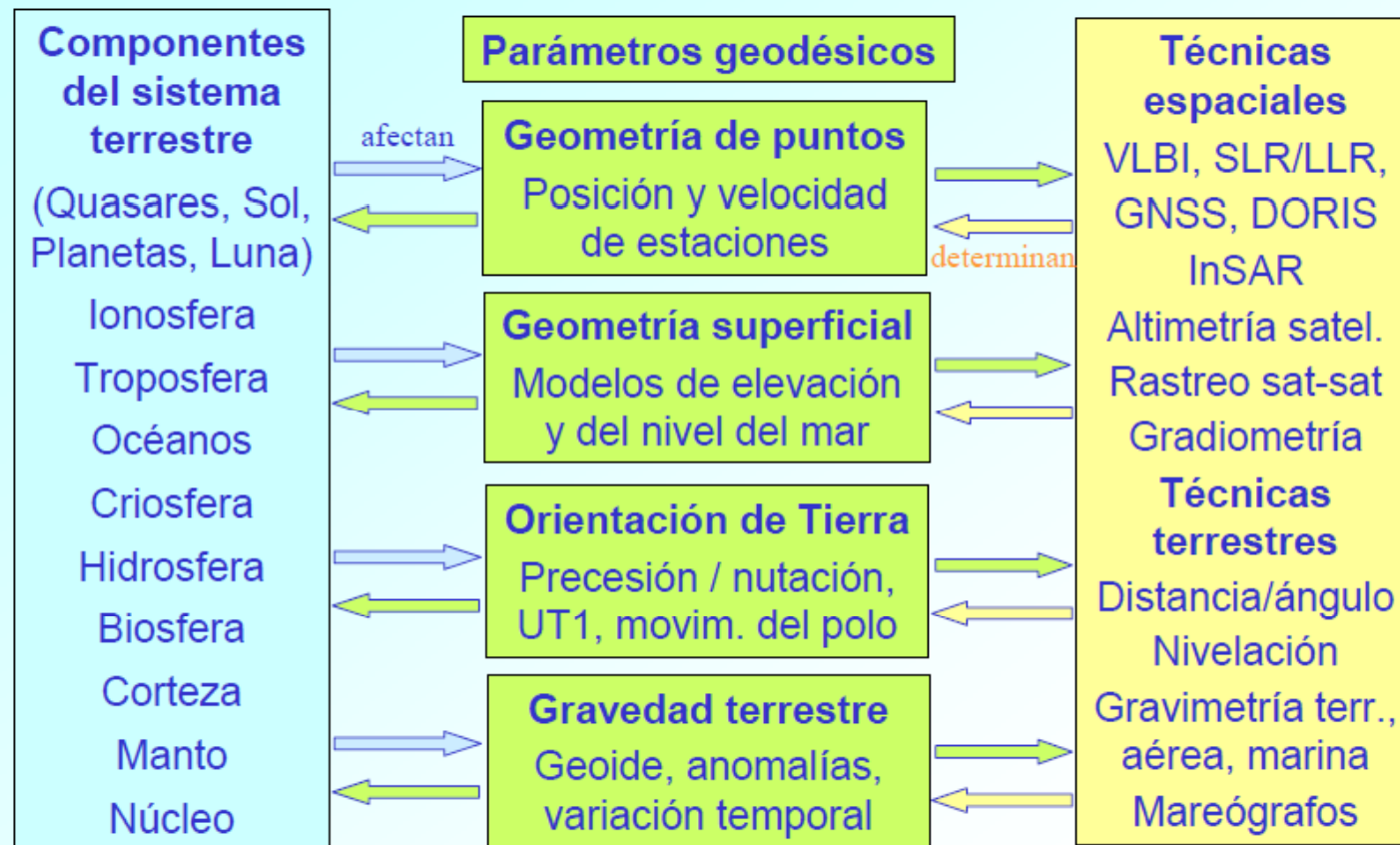
- geosfera (sólida)
- hidrosfera (fluida)
- atmósfera (gaseosa)
- criosfera (glacial)
- biosfera (viva)

Las observaciones geodésicas miden los efectos de estos procesos.



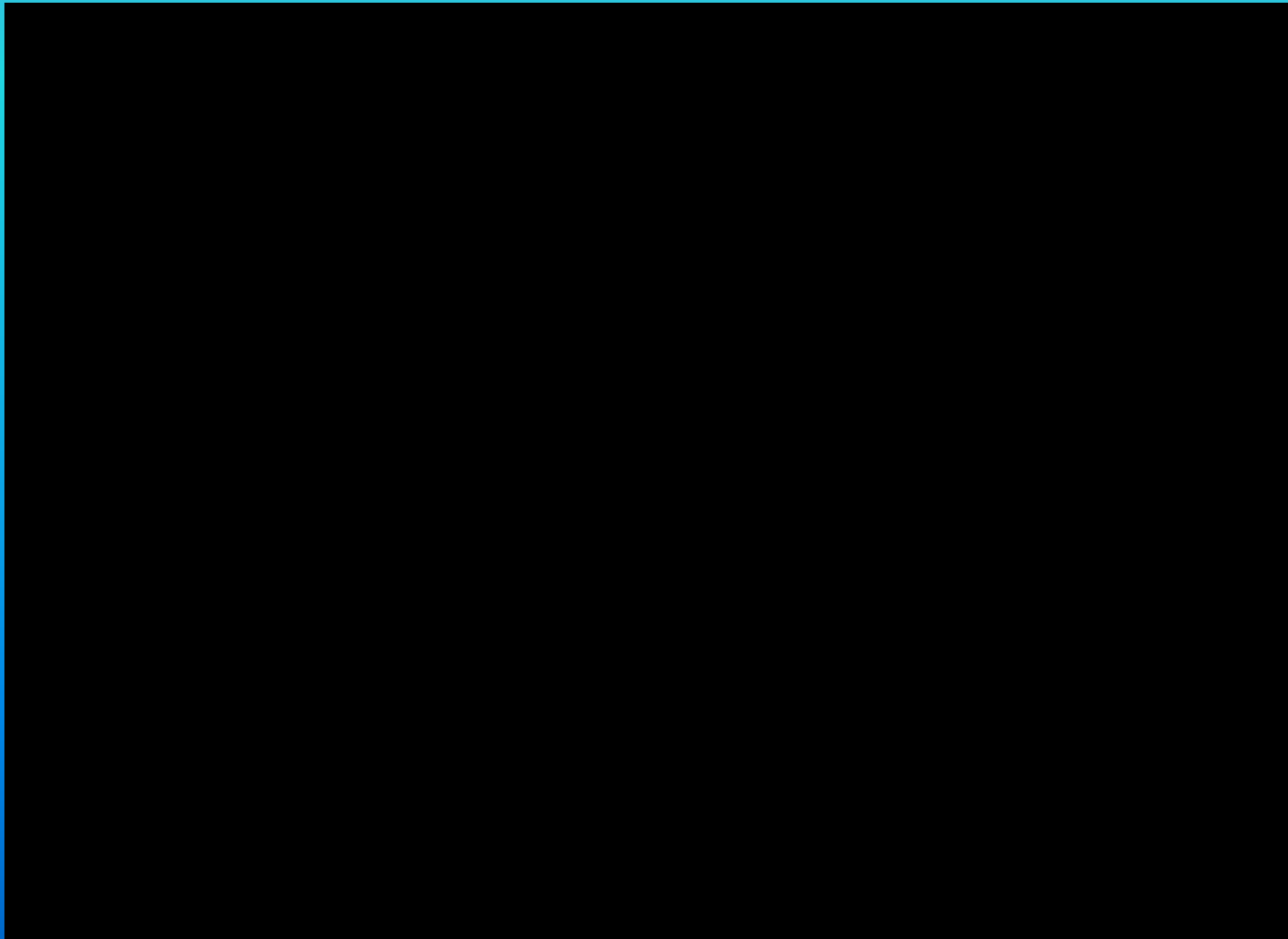
# Parámetros geodésicos v/s técnicas

## Sistema terrestre, parámetros y observaciones geodésicas



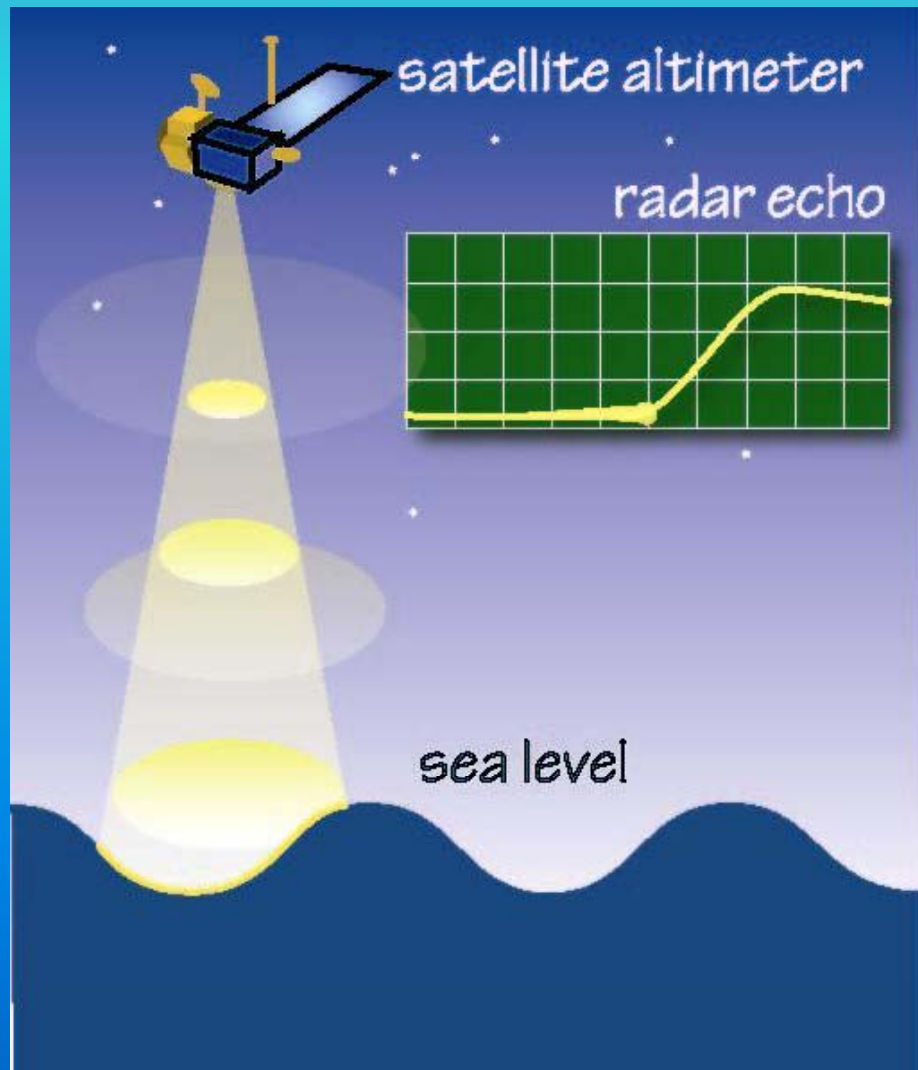


# Sea level rise





# Sea level rise

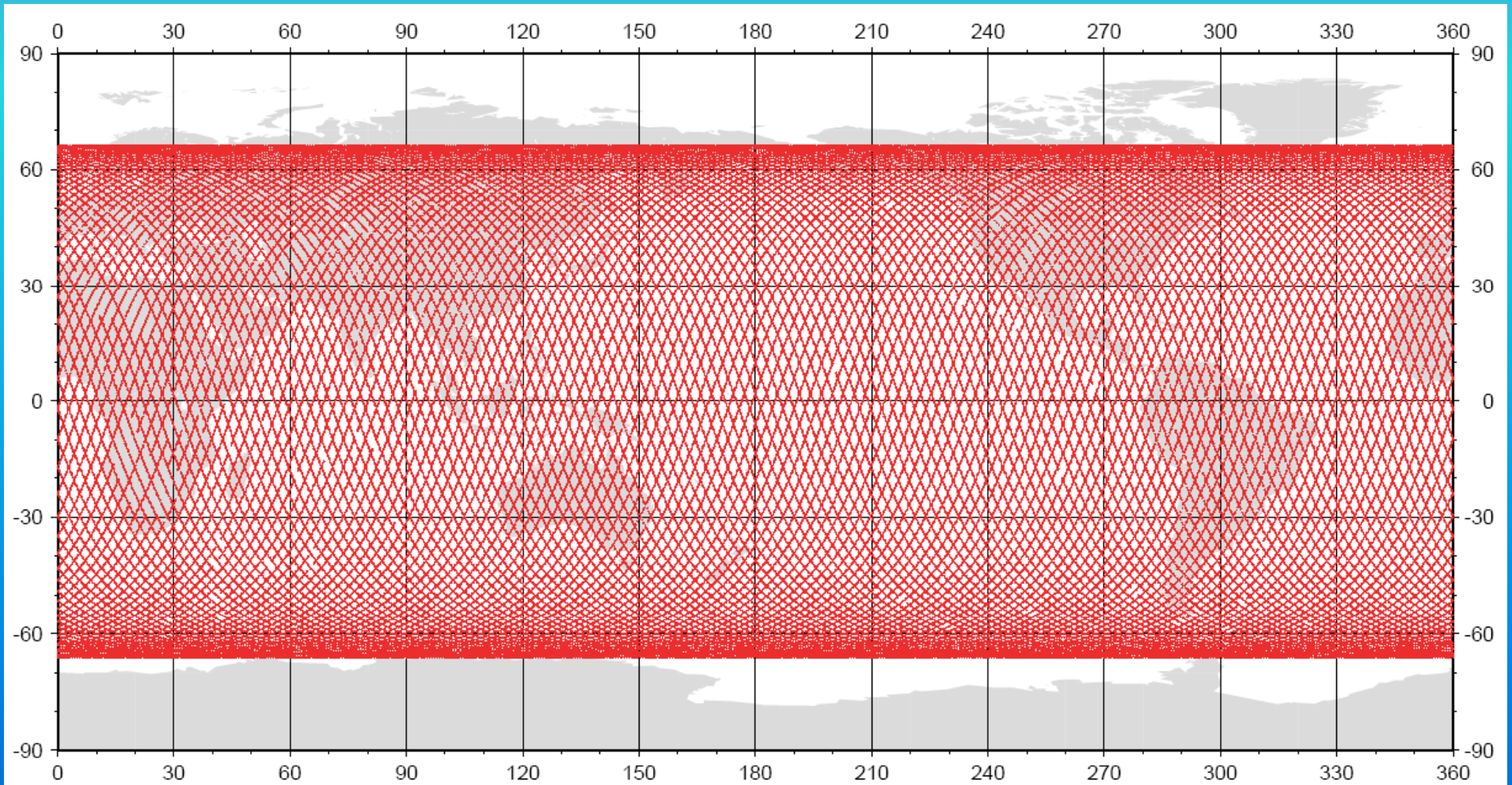


## Typical Characteristics:

Frequency	13.5 GHz
Impuls duration	12.5 nsec
Impuls travel time	5 msec
Puls repetition	1000Hz
Averaging	0,05 sec
Hight above sea level	800km
„footprint“	2-11 km
Ground velocity	6,7 km/sec



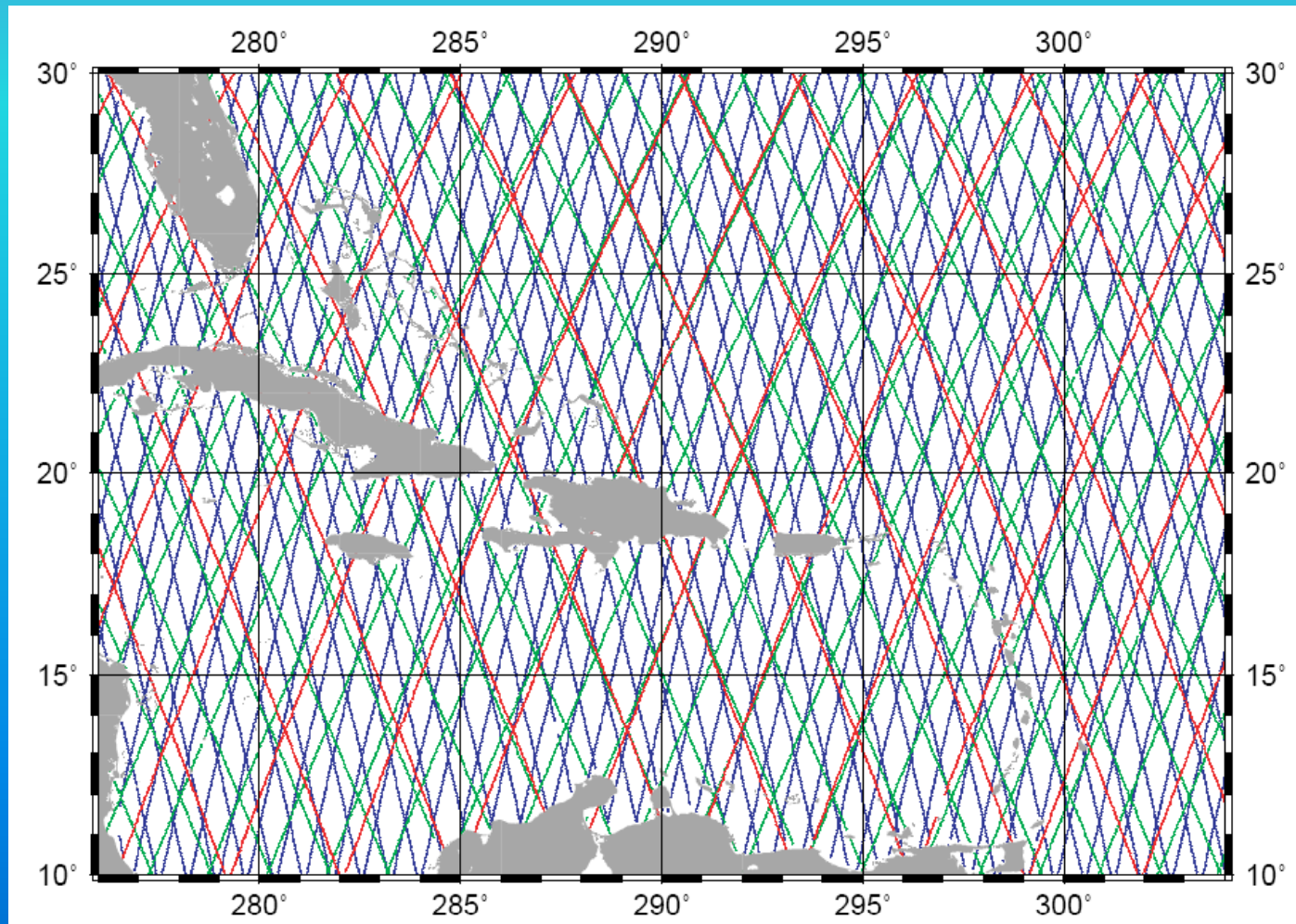
# Sea level rise



TOPEX/POSEIDON track



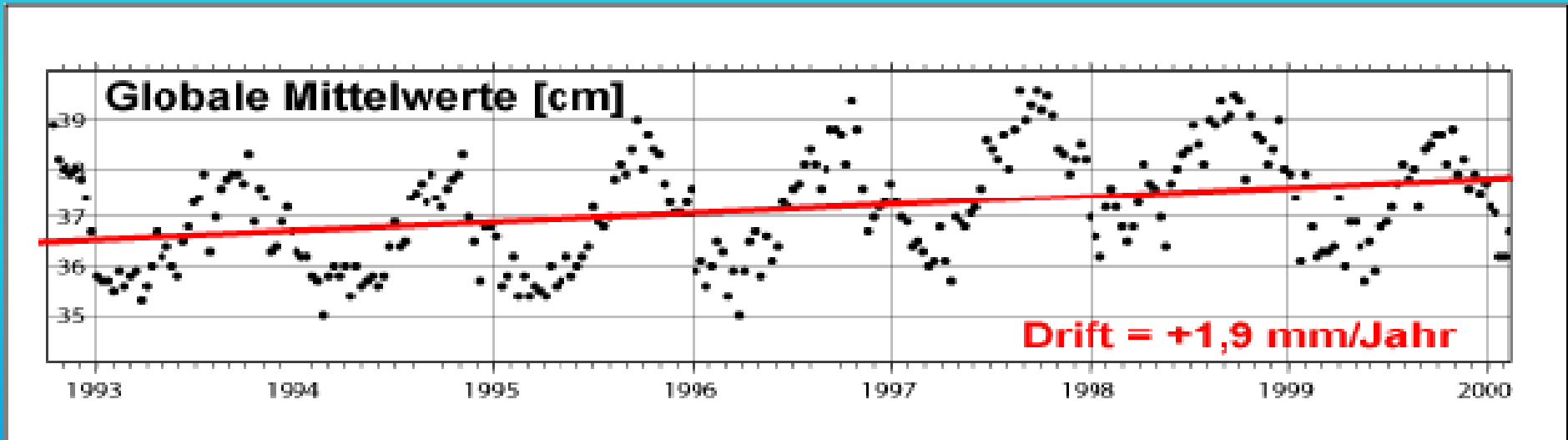
# Sea level rise



(T/P GFO ERS)



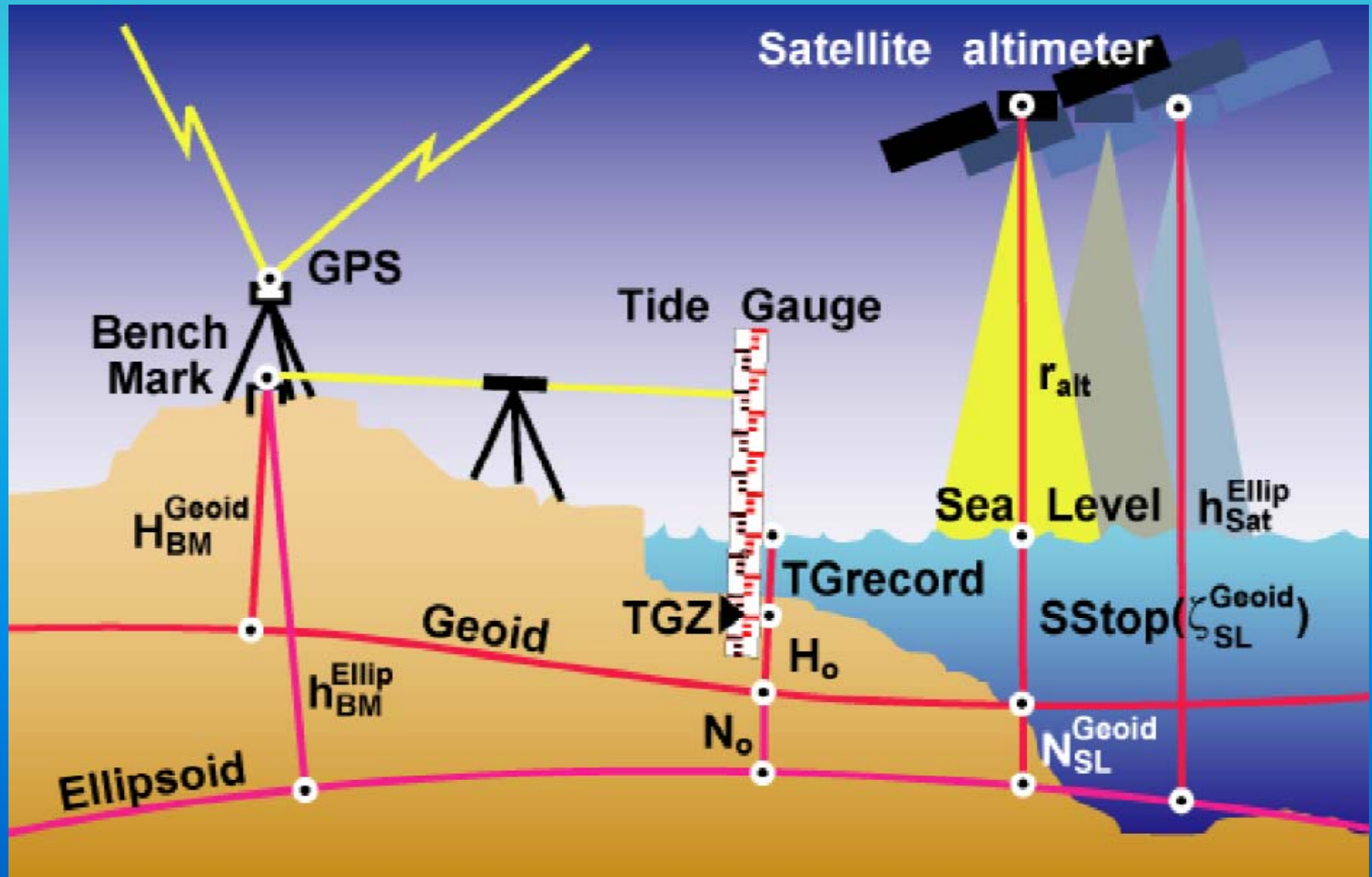
# Sea level rise



- Annual variation could be caused by
    - Water mass exchange with atmosphere
    - Uneven land/ocean distribution on both hemispheres
    - Southern ocean only partly sampled by TOPEX/Poseidon
- (Bosh, 2008)

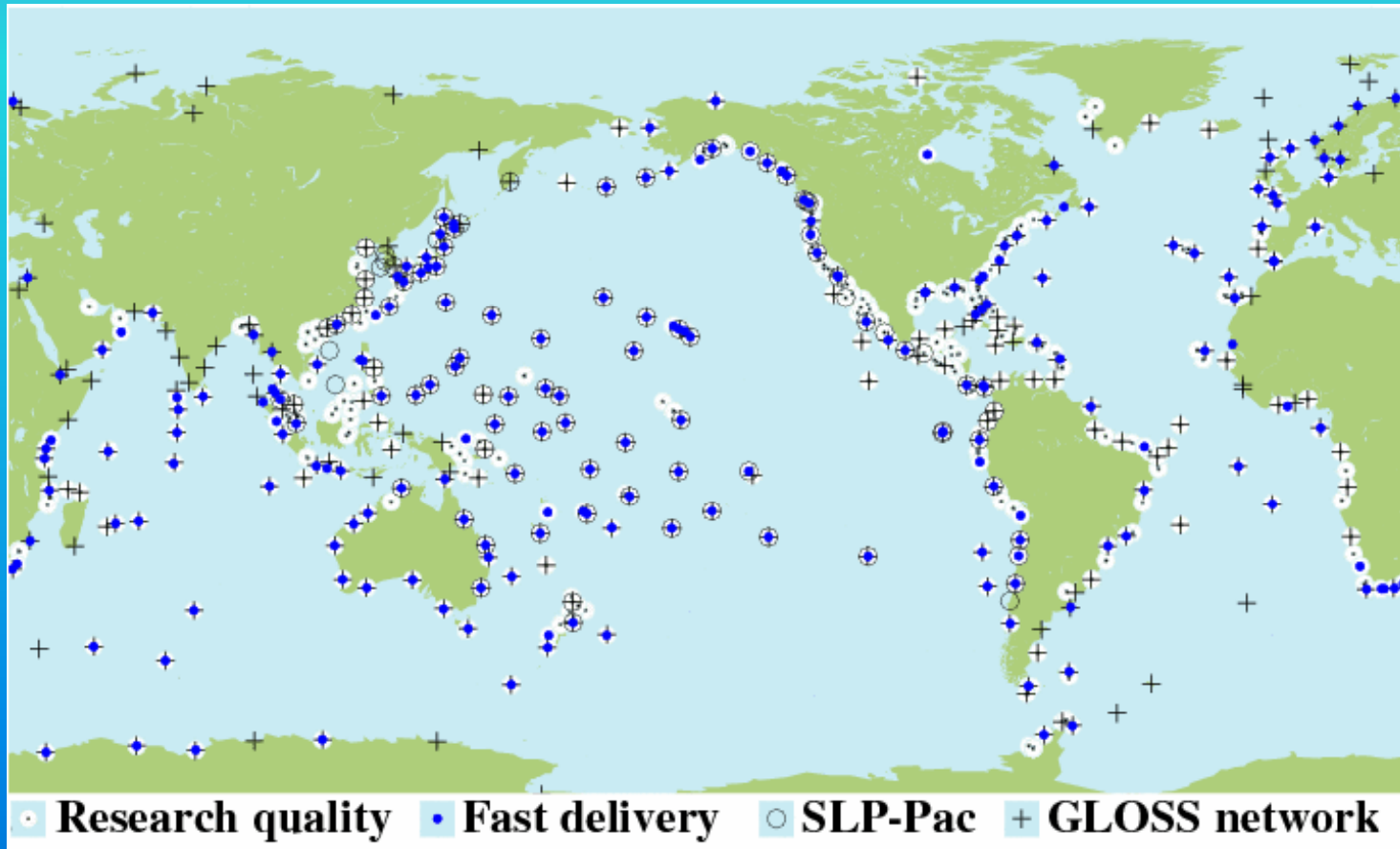


# Sea level rise





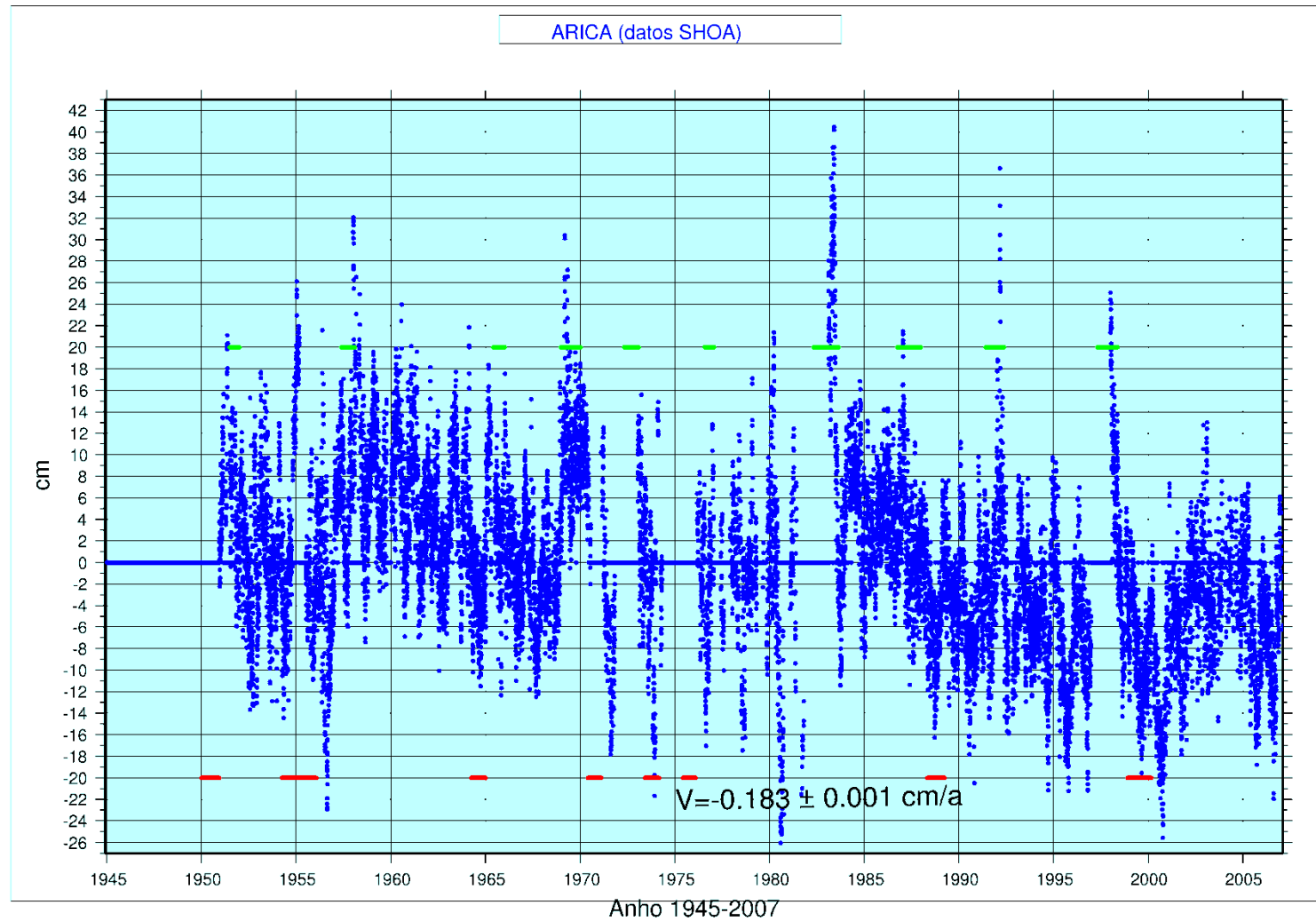
# Sea level rise



Mareografos (Hawaii)



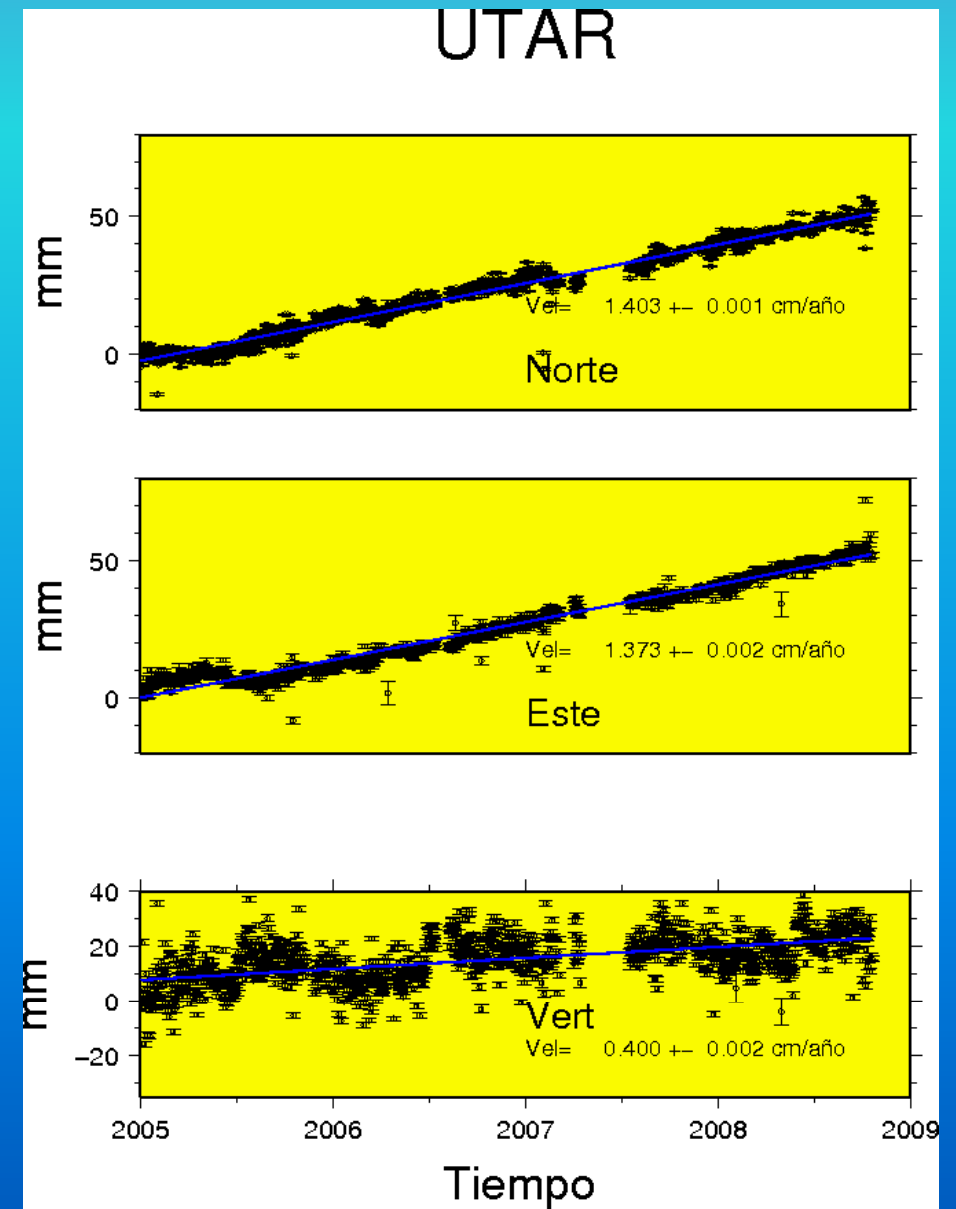
# Sea level rise





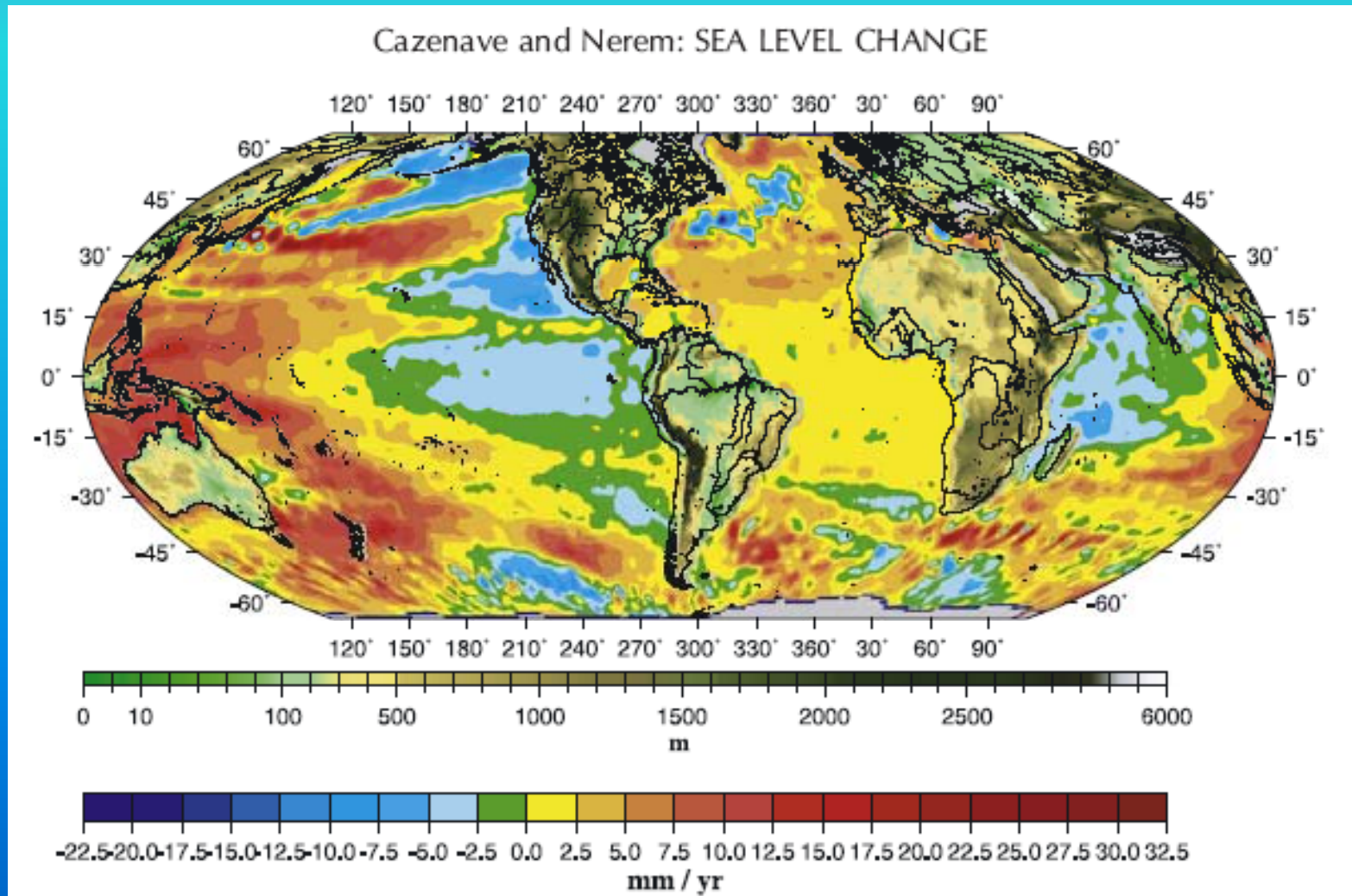
# Sea level rise

Serie Arica.



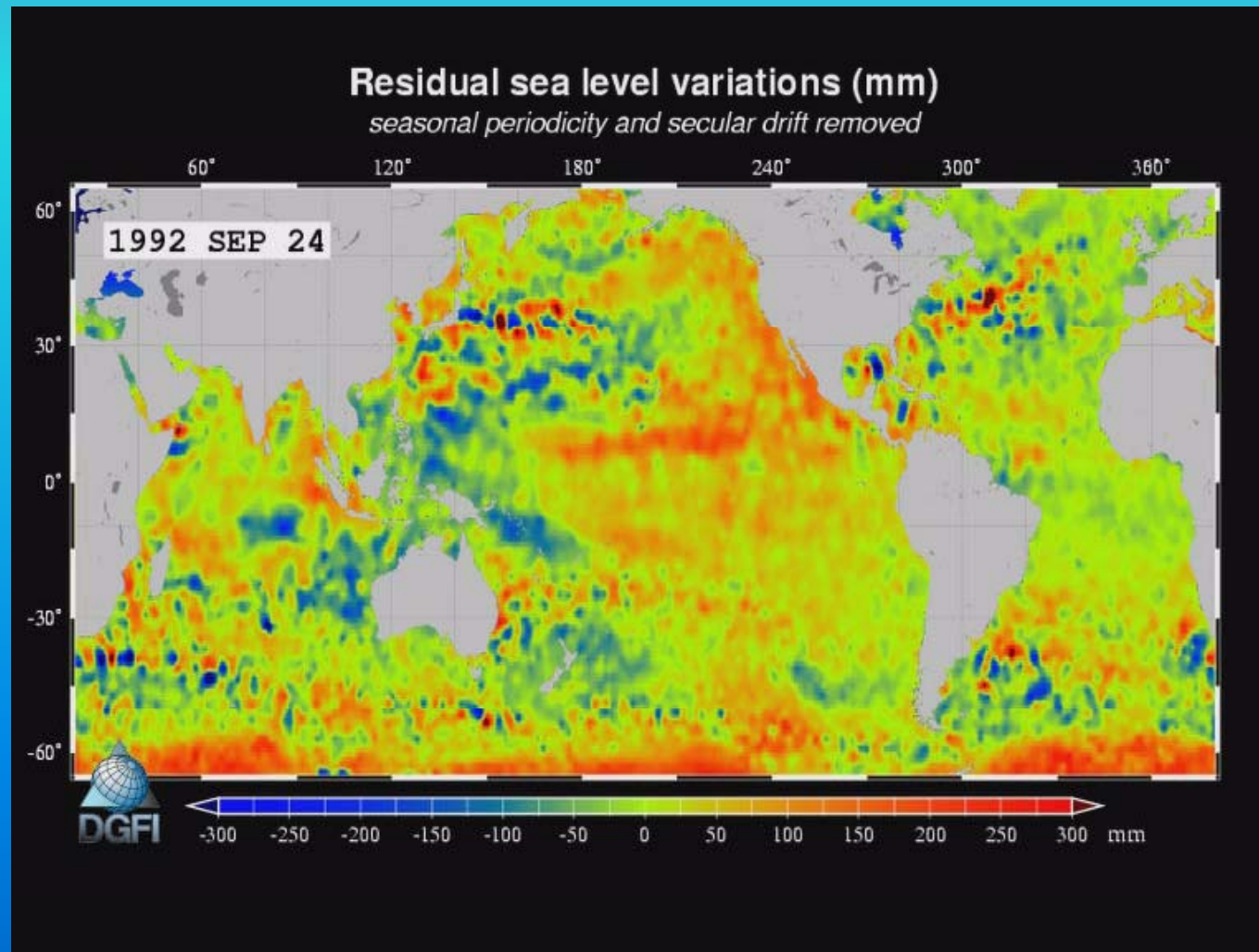


# Sea level rise





# Sea level rise



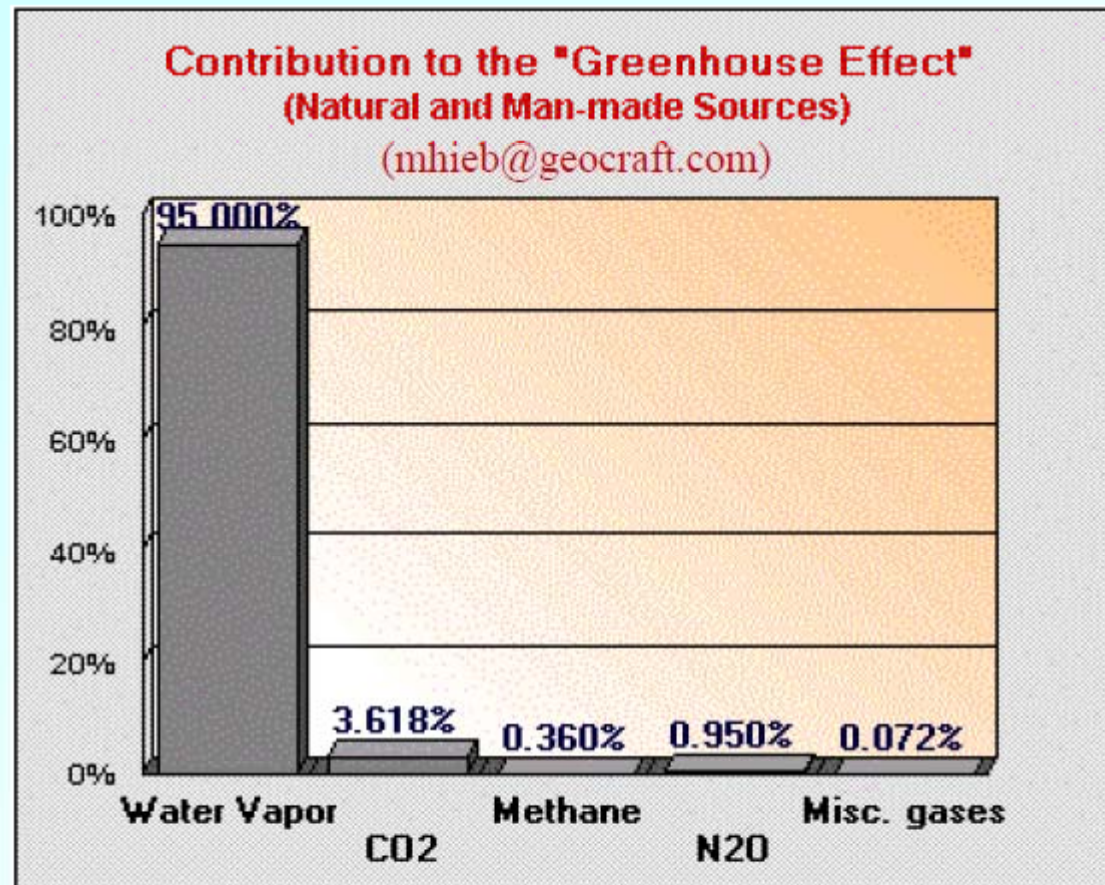
Boch, 2009



# Atmosfera

## Contribuciones al efecto Greenhouse

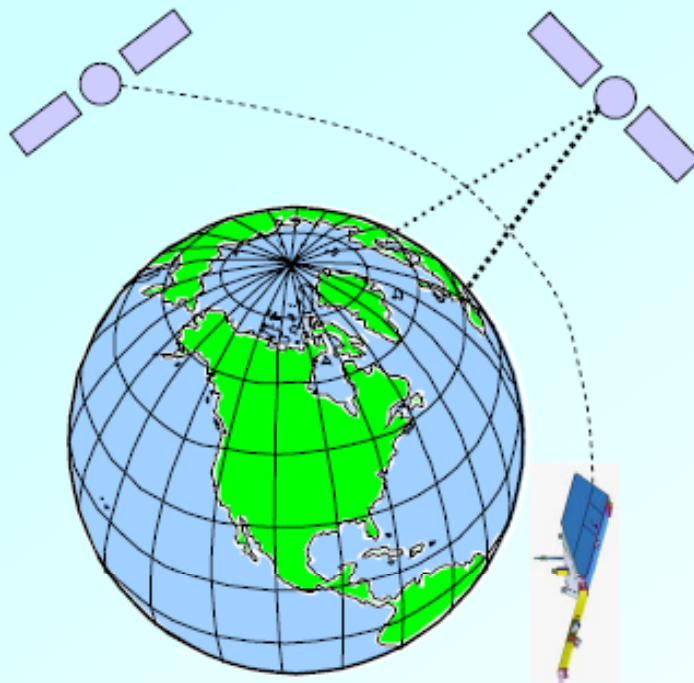
95 % se generan por vapor del agua de la atmósfera





# Atmosfera

## Observación geodésica del vapor de agua en la troposfera



1. Sondeo atmosférico por GNSS basado en Tierra: Estimación del vapor de agua por redes terrestres.
2. Sondeo atmosférico por GNSS basado en espacio: Observaciones de la ocultación entre satélites.

<http://www.gfz-potsdam.de>

**Principio:** Medir el retraso de las señales (refractividad) GNSS entre posiciones „conocidas“ en Tierra y satélites.

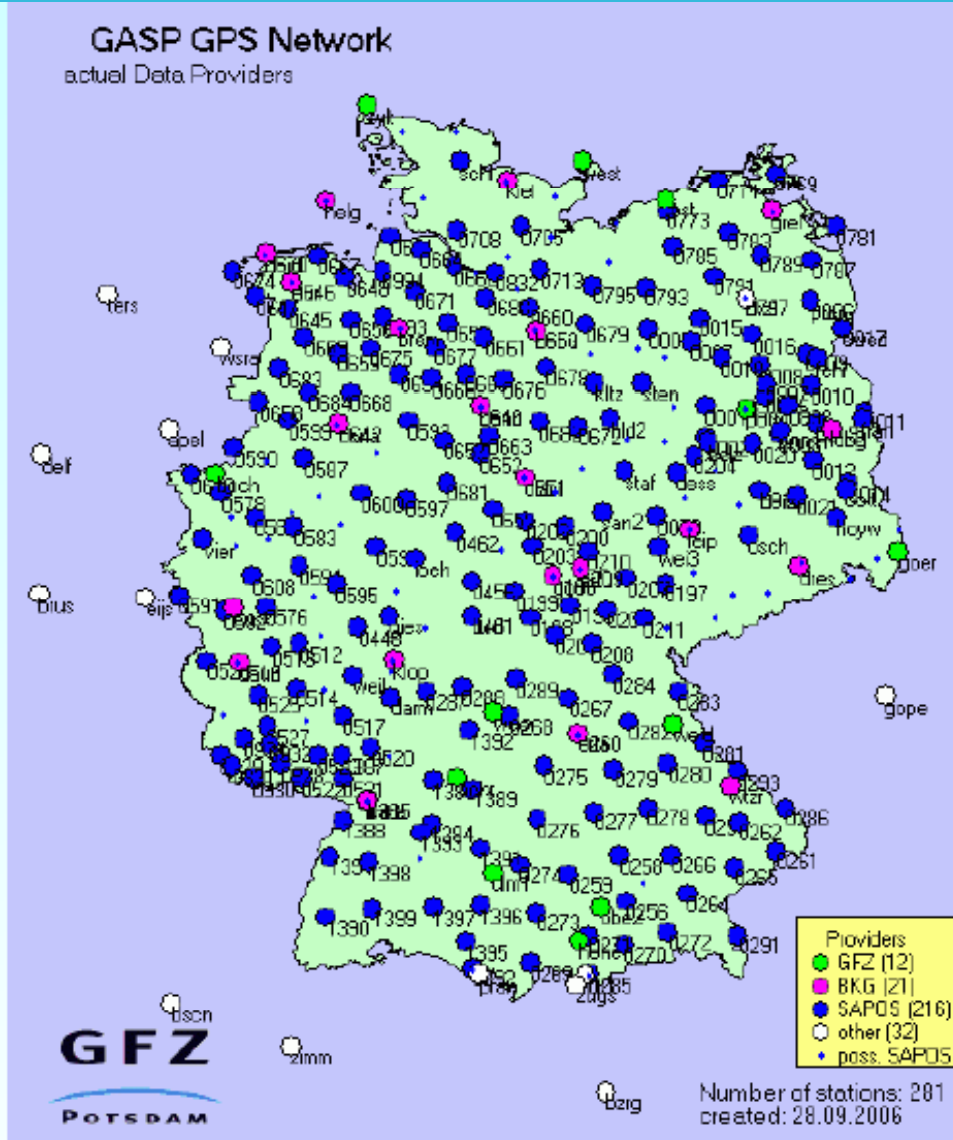


# Atmosfera

## Sondeo atmosférico

### Red de Alemania:

- Satellite Positioning System (SAPOS)<sup>®</sup>
- Bundesamt für Kartographie und Geodäsie (BKG)
- GeoForschungs-Zentrum Potsdam (GFZ)
- Países vecinos



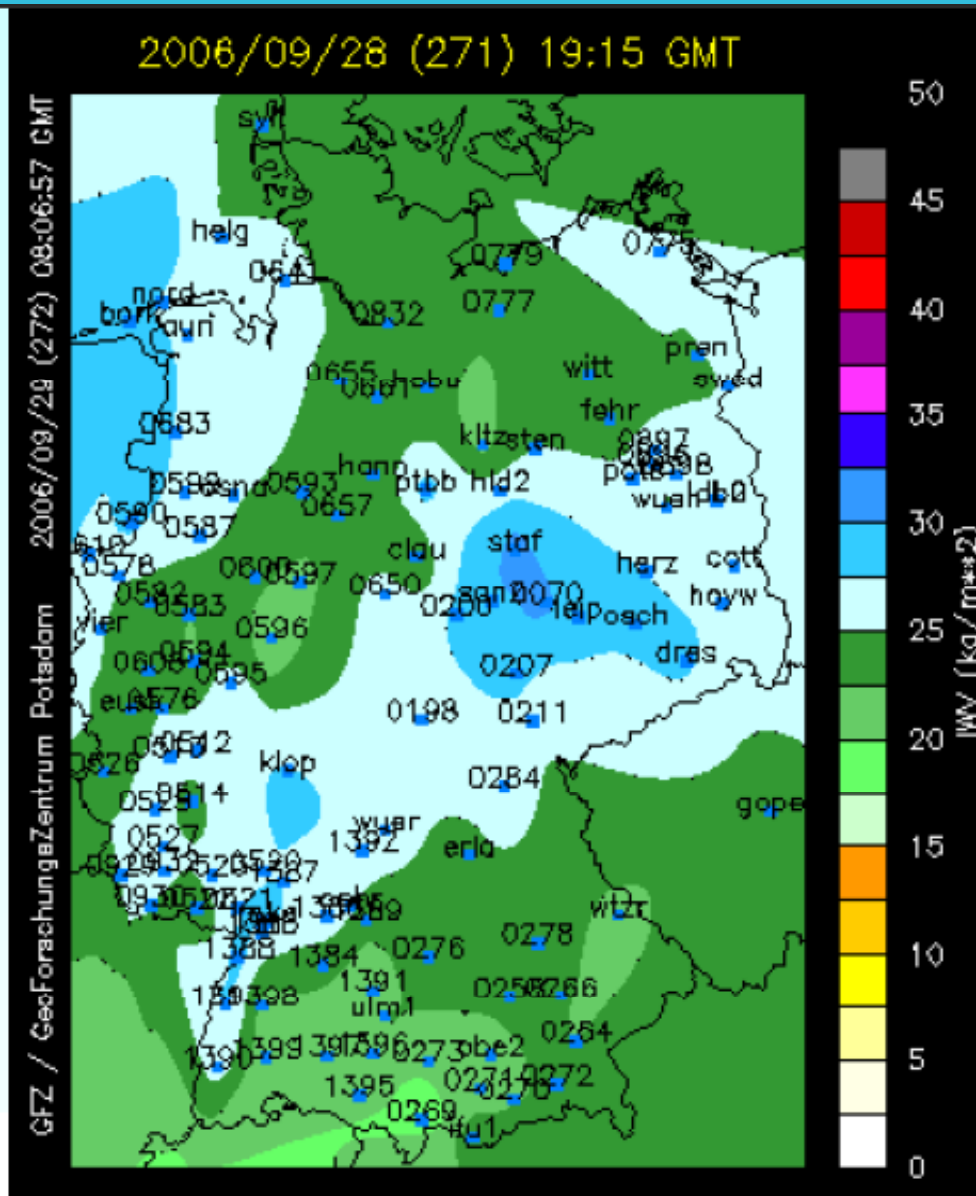


# Atmosfera

## Sondeo atmosférico

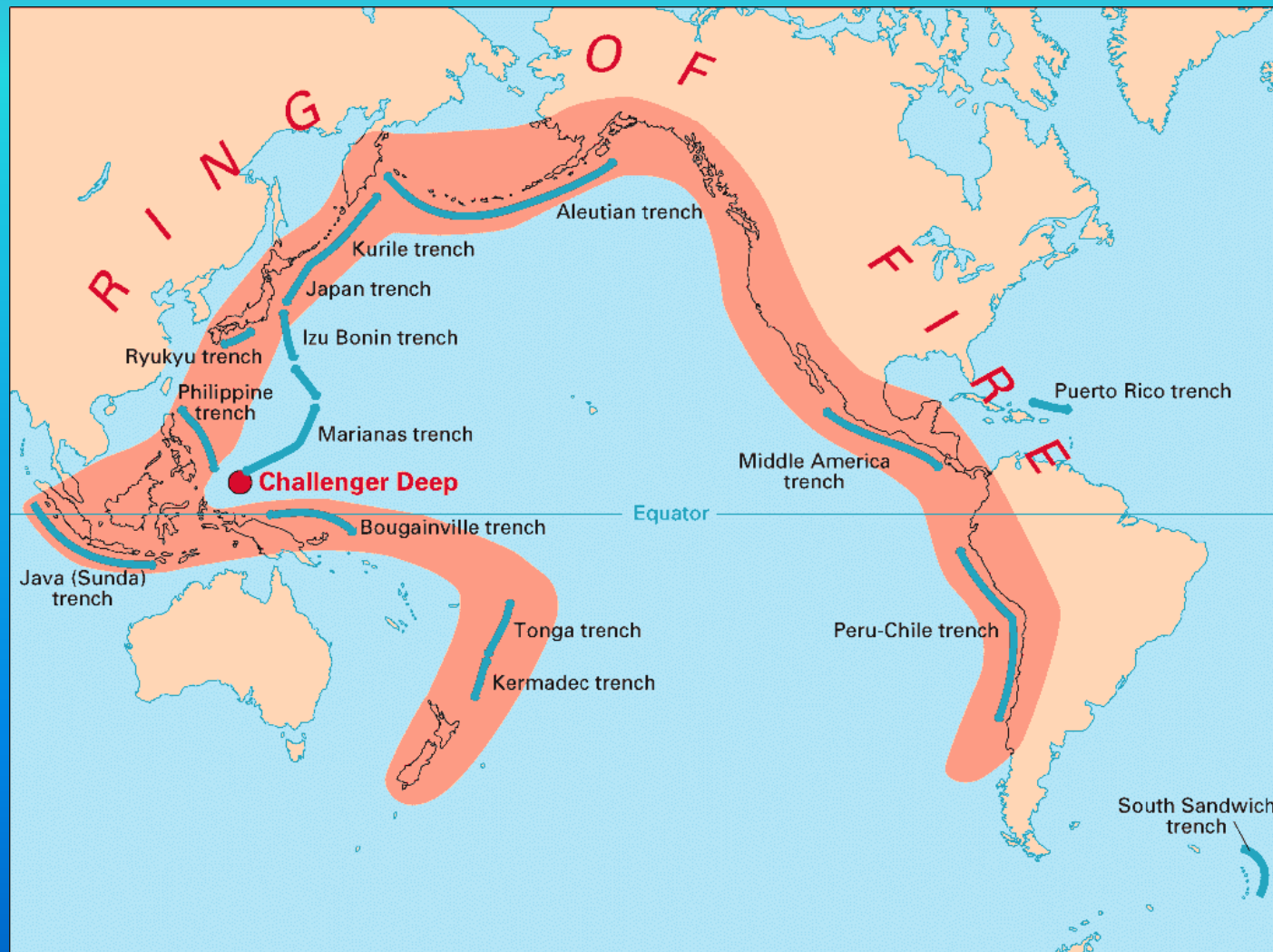
Estimación horaria del vapor integrado de agua (IWP) en la atmósfera.

**GFZ**  
POTSDAM





# Deformación Tierra sólida



<http://pubs.usgs.gov/gip/dynamic/fire.html>



# Deformación Tierra sólida

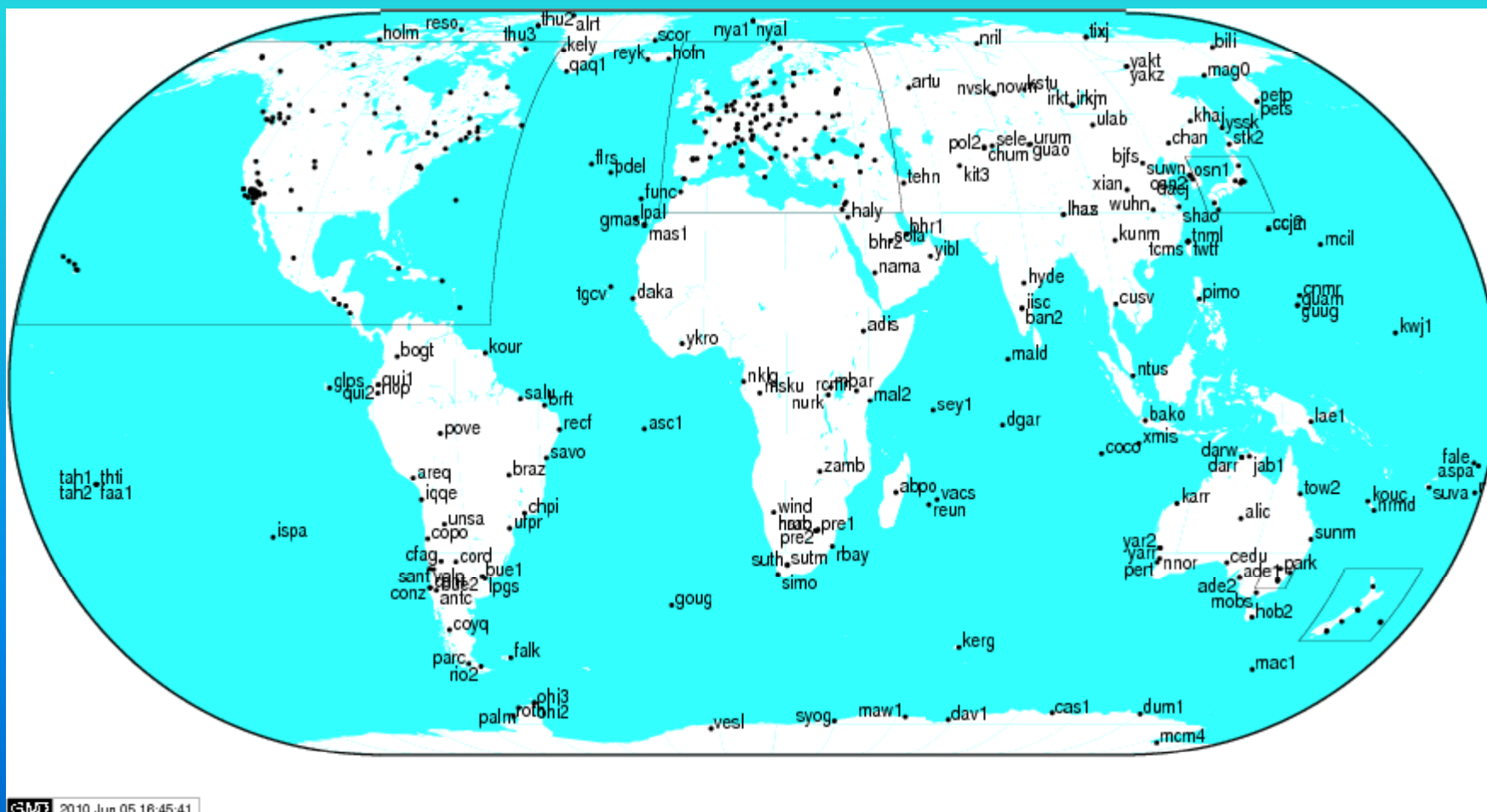


GFZ



# Deformación Tierra sólida

International GNSS Service (IGS)

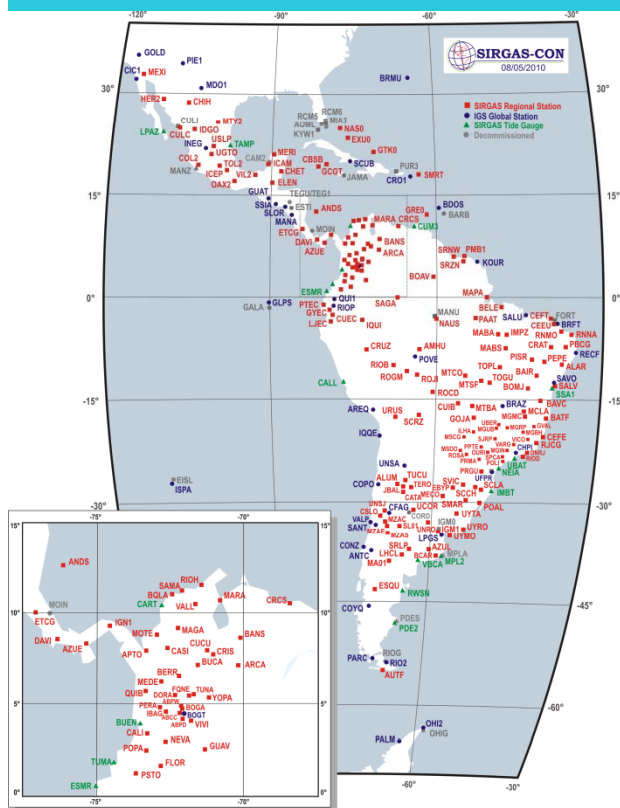


2010 Jun 05 16:45:41

<http://igsceb.jpl.nasa.gov>



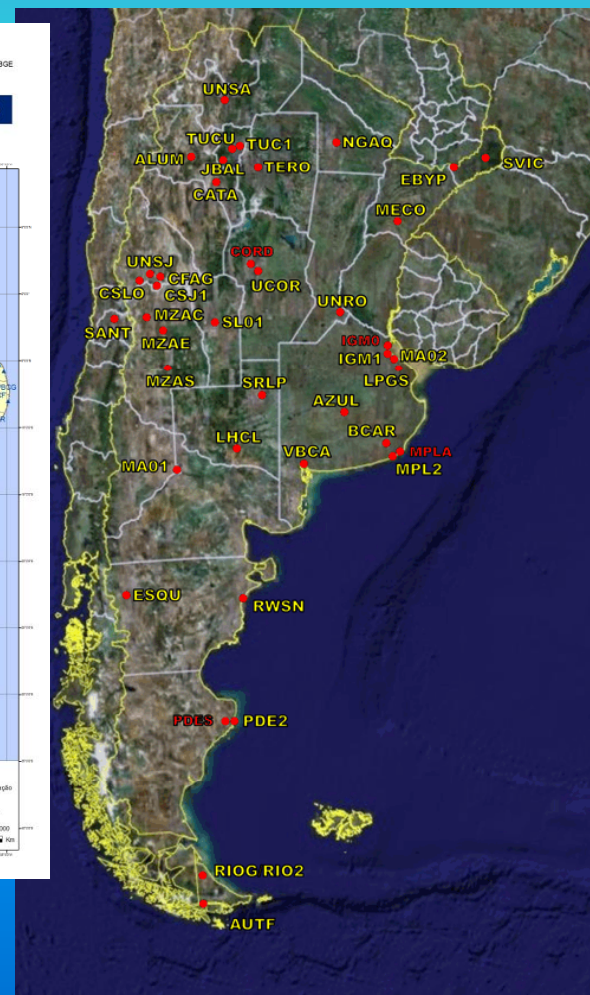
# Deformación Tierra sólida



SIRGAS-CON



RBMC

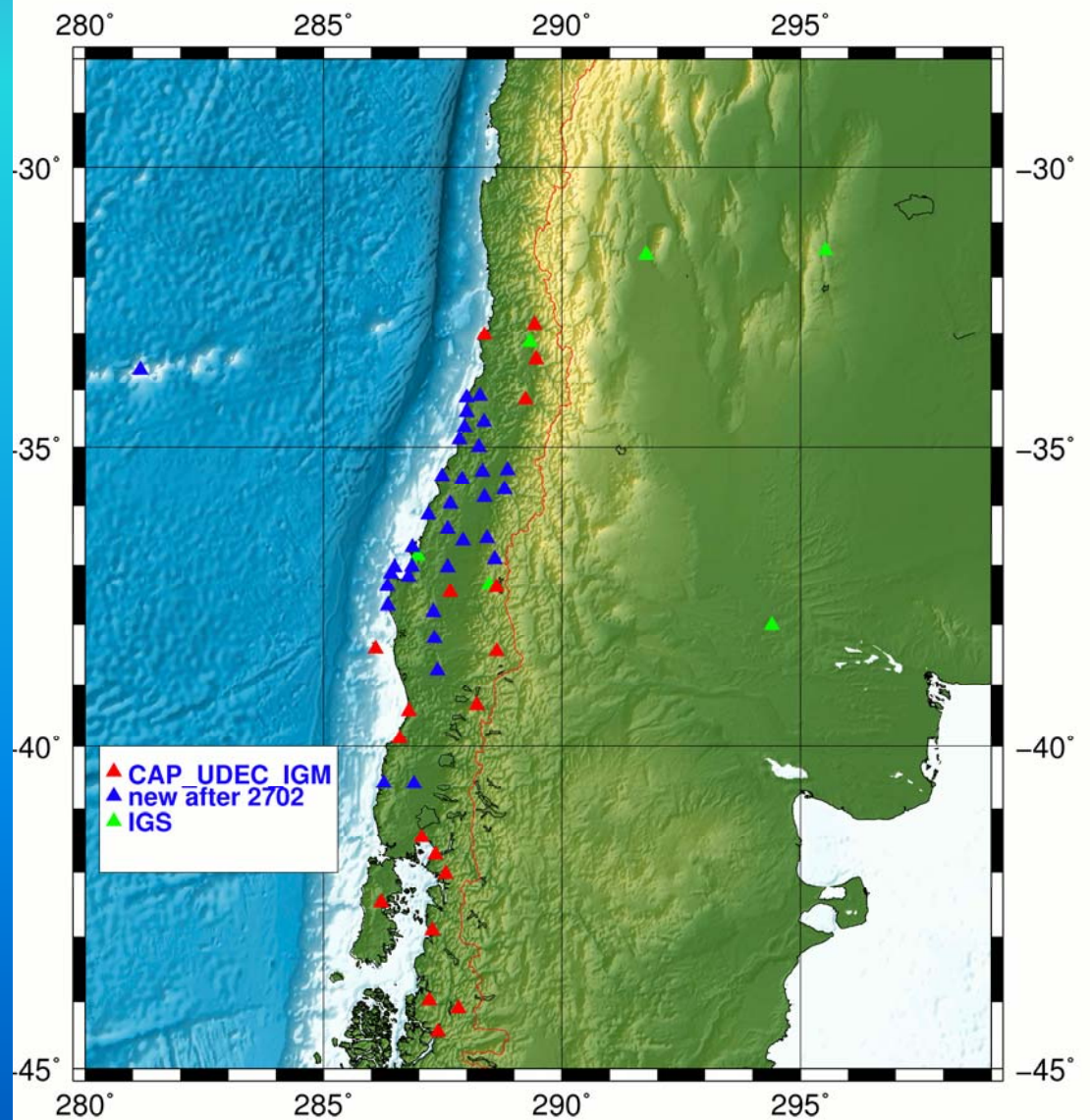


RAMSAC



# Deformación Tierra sólida

Estaciones (rojo), instaladas pos sismo 2702

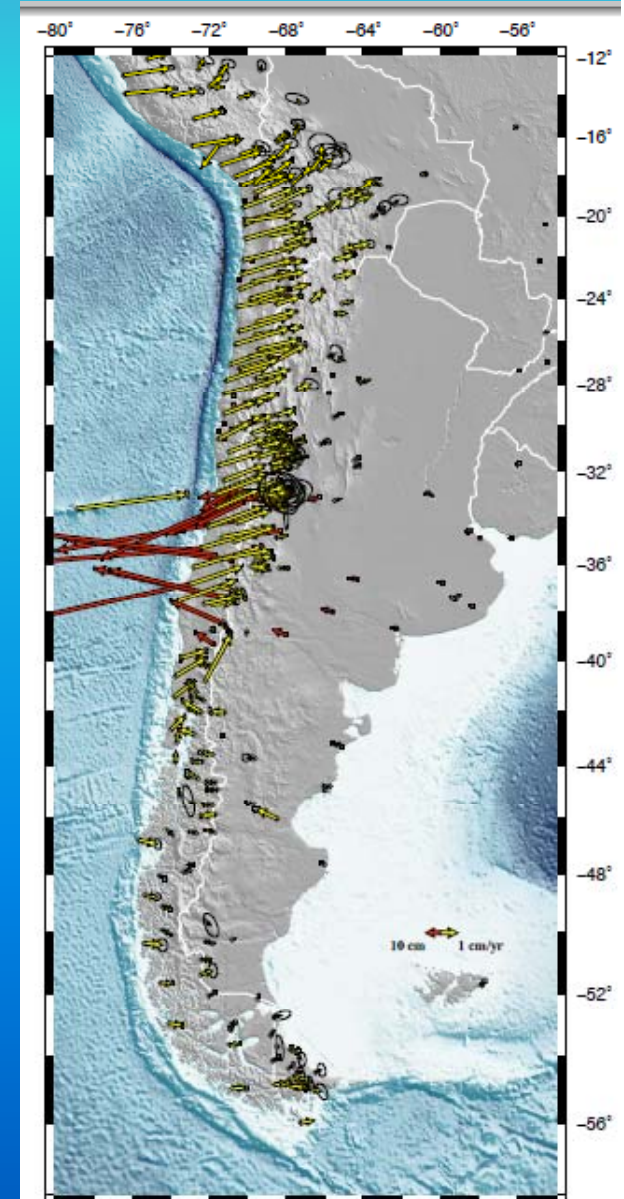




# Deformación Tierra sólida

A map showing interseismic velocities (yellow) and Maule co-seismic displacement (red) for the M8.8 Chile earthquake. Ben Brooks, James Foster, Mike Bevis, Bob Smalley, Hector Parra, Juan Carlos Báez Soto, Mauro Blanco, Eric Kendrick, Jeff Genrich, and Dana Caccamise

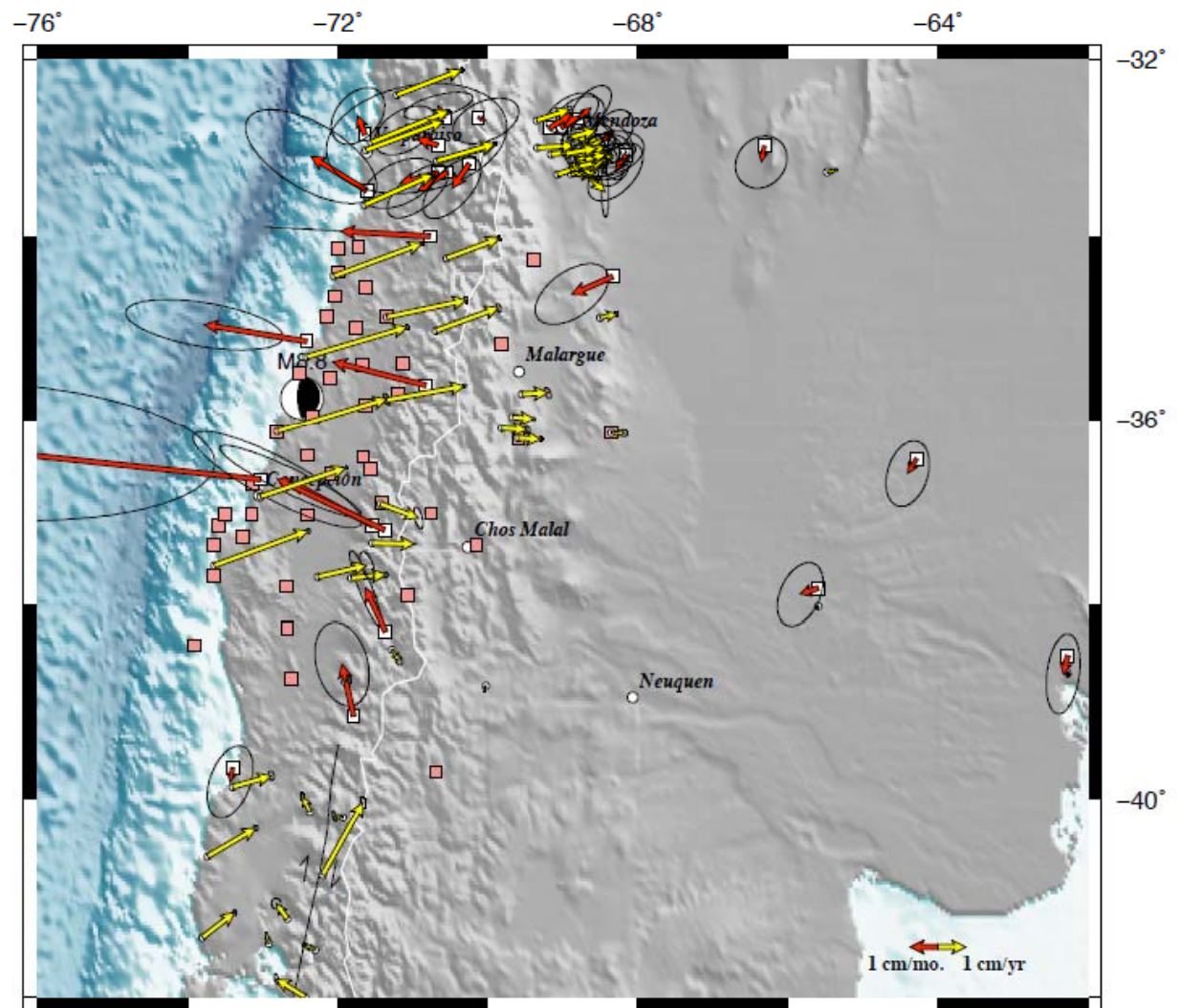
[http://www.unavco.org/research\\_science/science\\_highlights/2010/M8.8-Chile.html](http://www.unavco.org/research_science/science_highlights/2010/M8.8-Chile.html)





# Deformación Tierra sólida

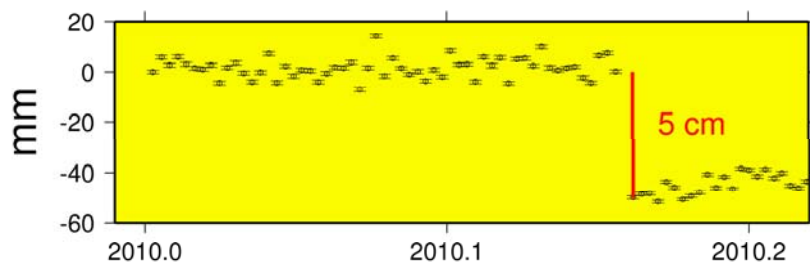
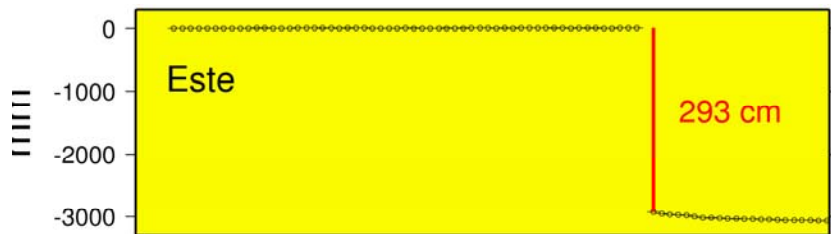
A map showing interseismic velocities (yellow), post-seismic displacement from existing stations (red), and locations of installed NSF RAPID stations for which velocities are forthcoming (pink squares). Ben Brooks, James Foster, Mike Bevis, Bob Smalley, Hector Parra, Juan Carlos Baez Soto, Mauro Blanco, Eric Kendrick, Jeff Genrich, and Dana Caccamise.





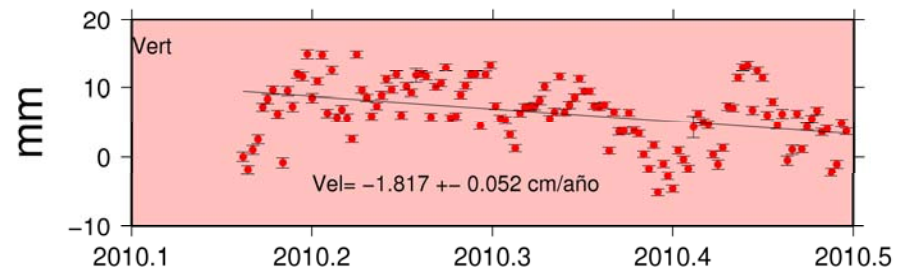
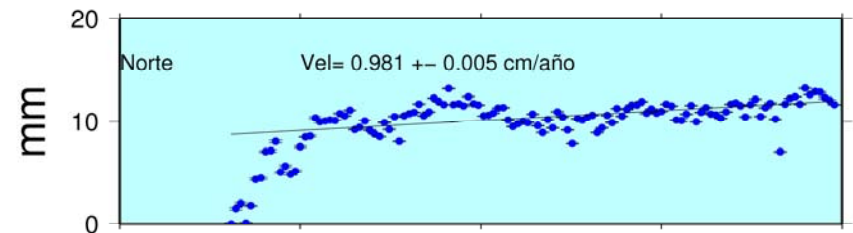
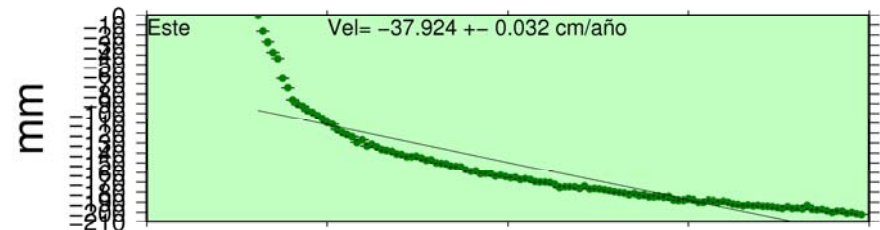
# Deformación Tierra sólida

CONZ



Tiempo

CONZ



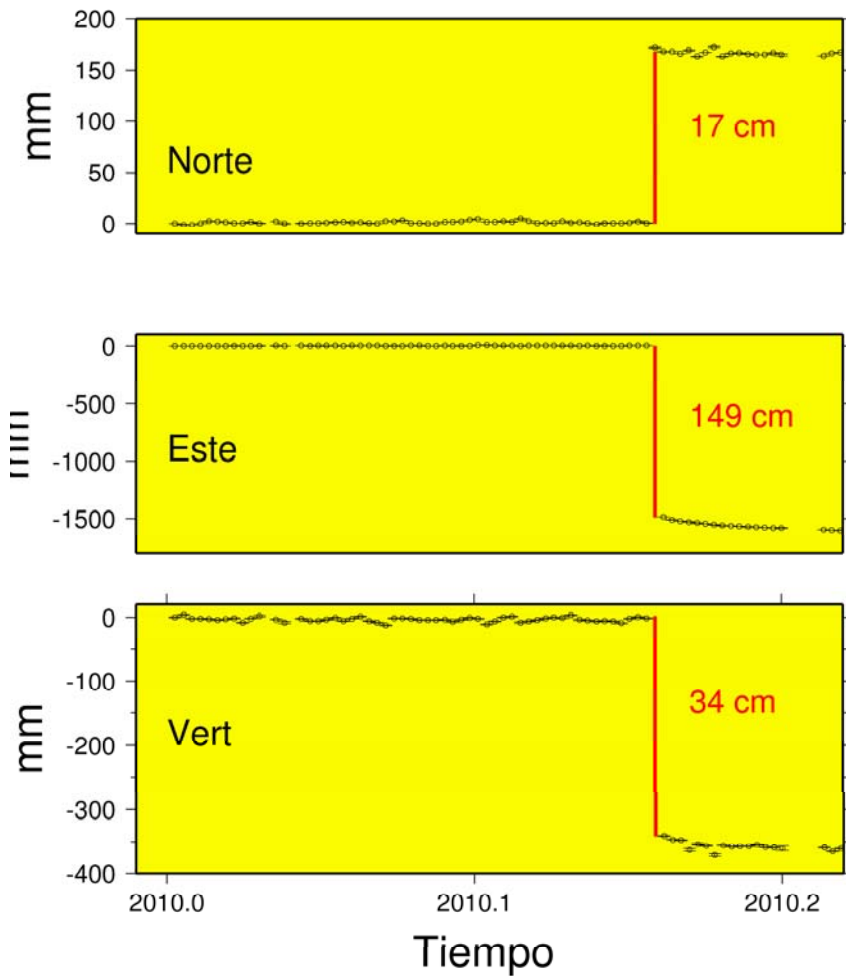
GM 2010 Aug 18 21:40:32

Tiempo

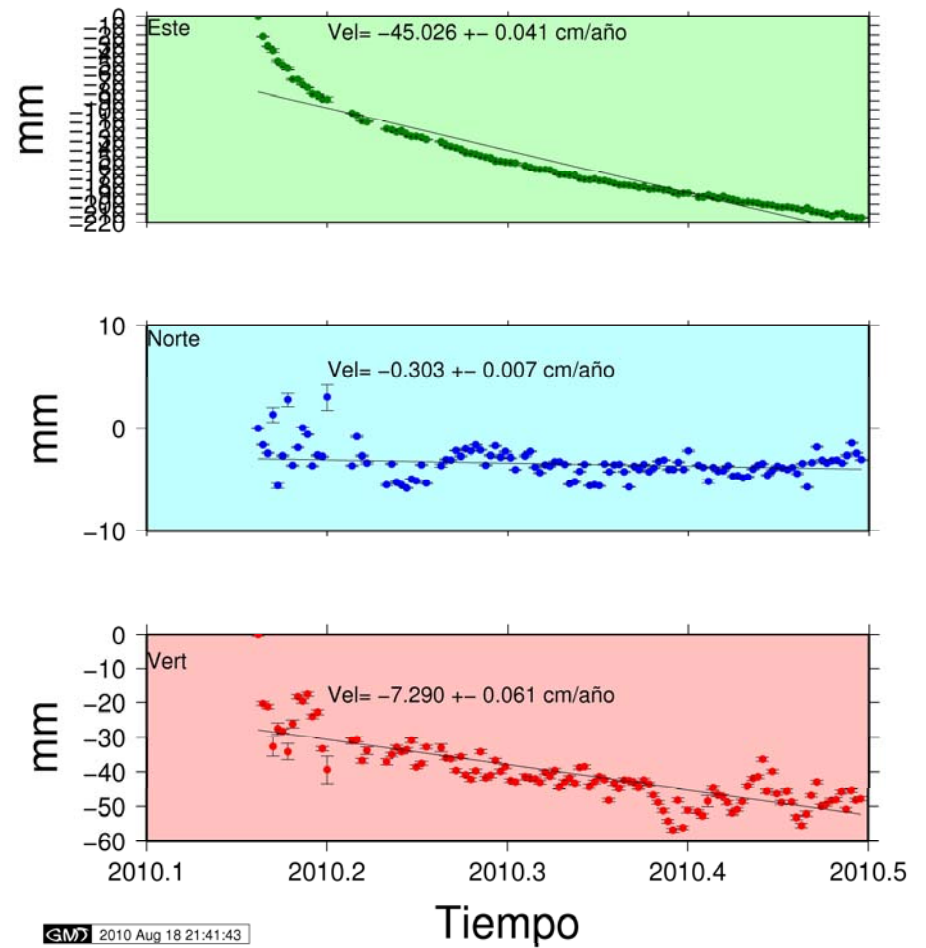


# Deformación Tierra sólida

UDEA



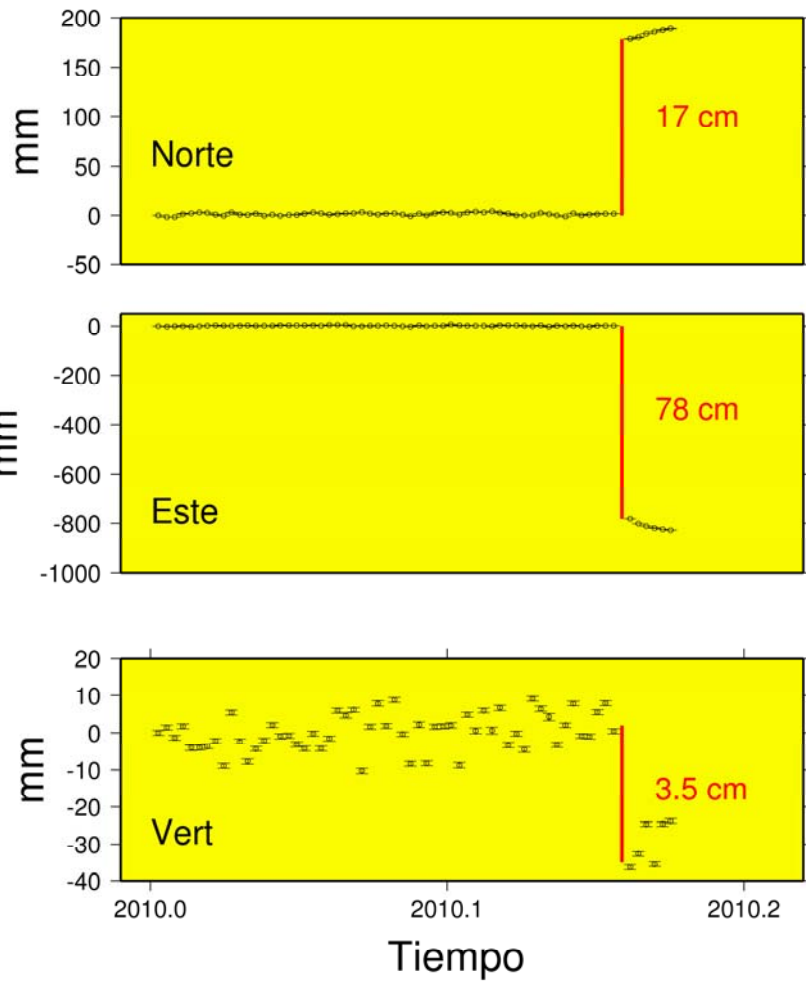
UDEA



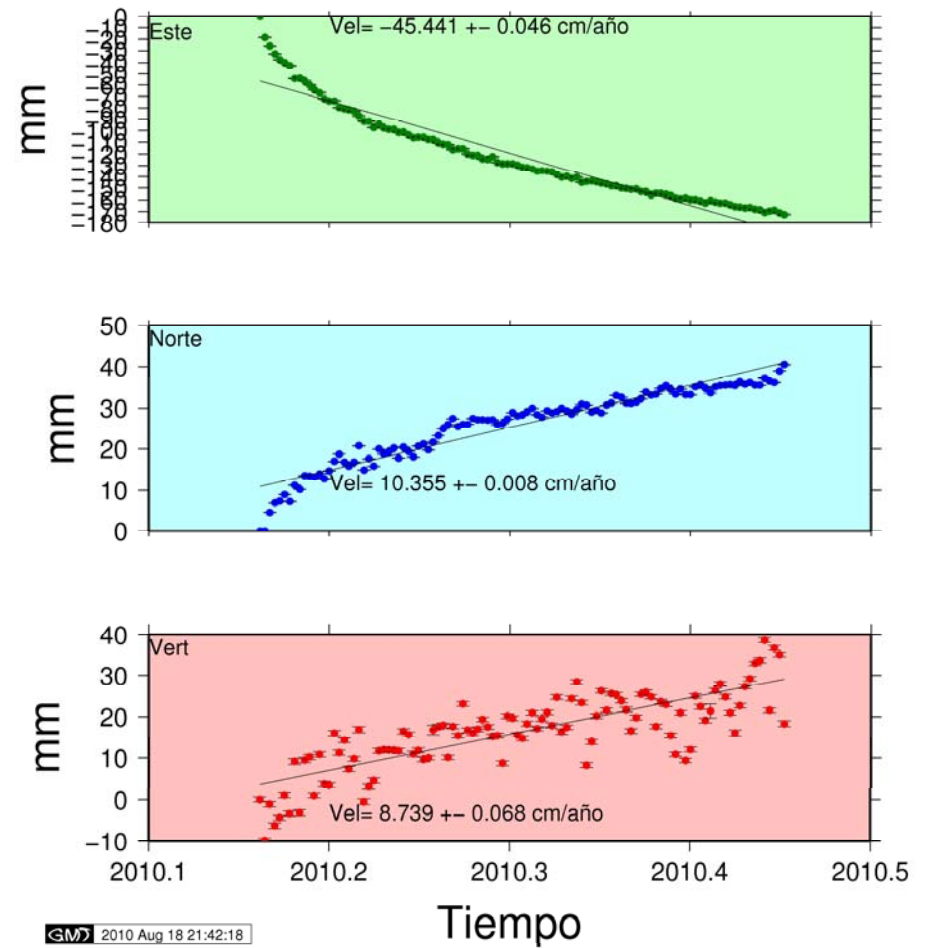


# Deformación Tierra sólida

ANTC



ANTC





## Ciclo Sísmico

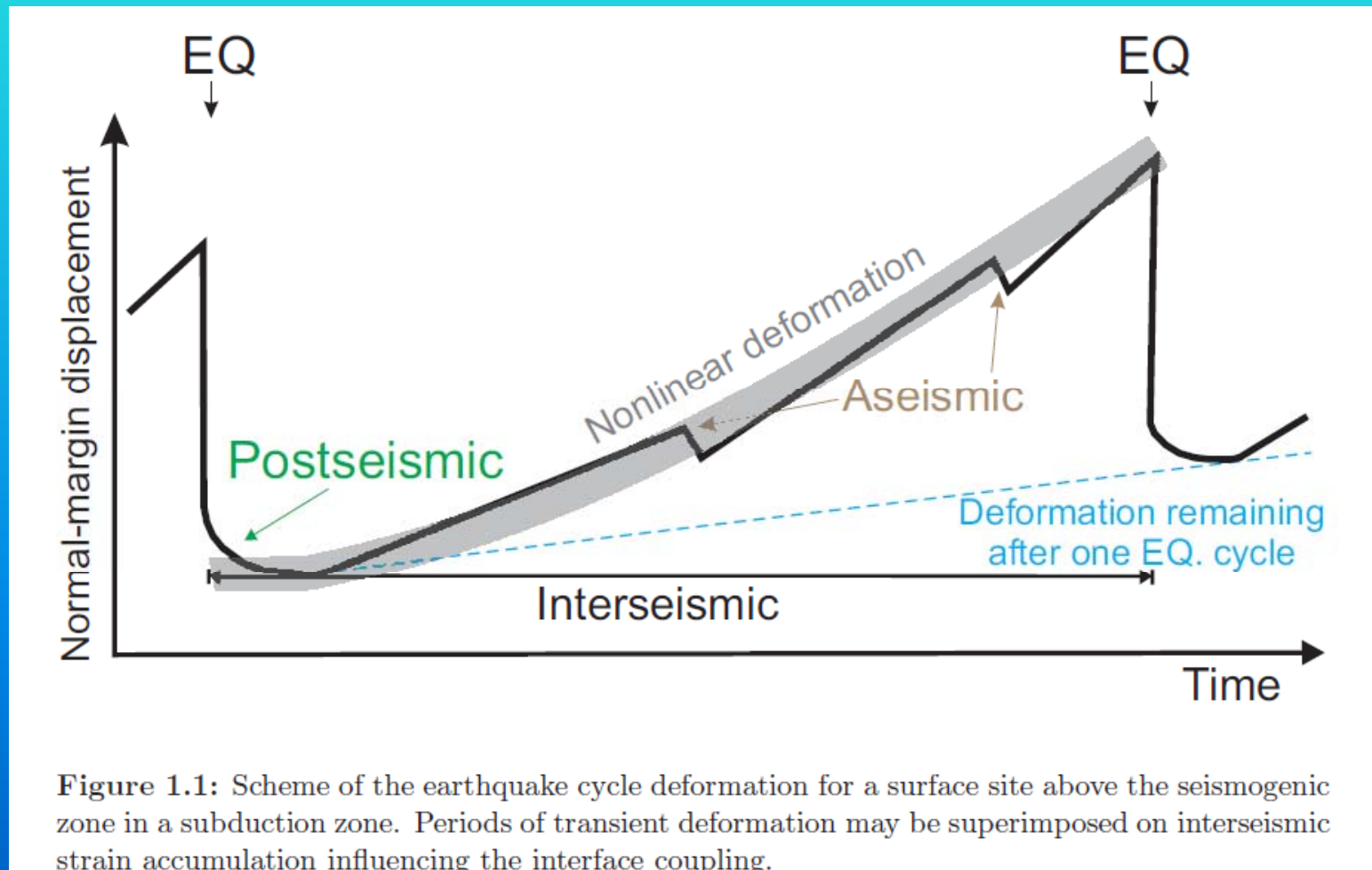
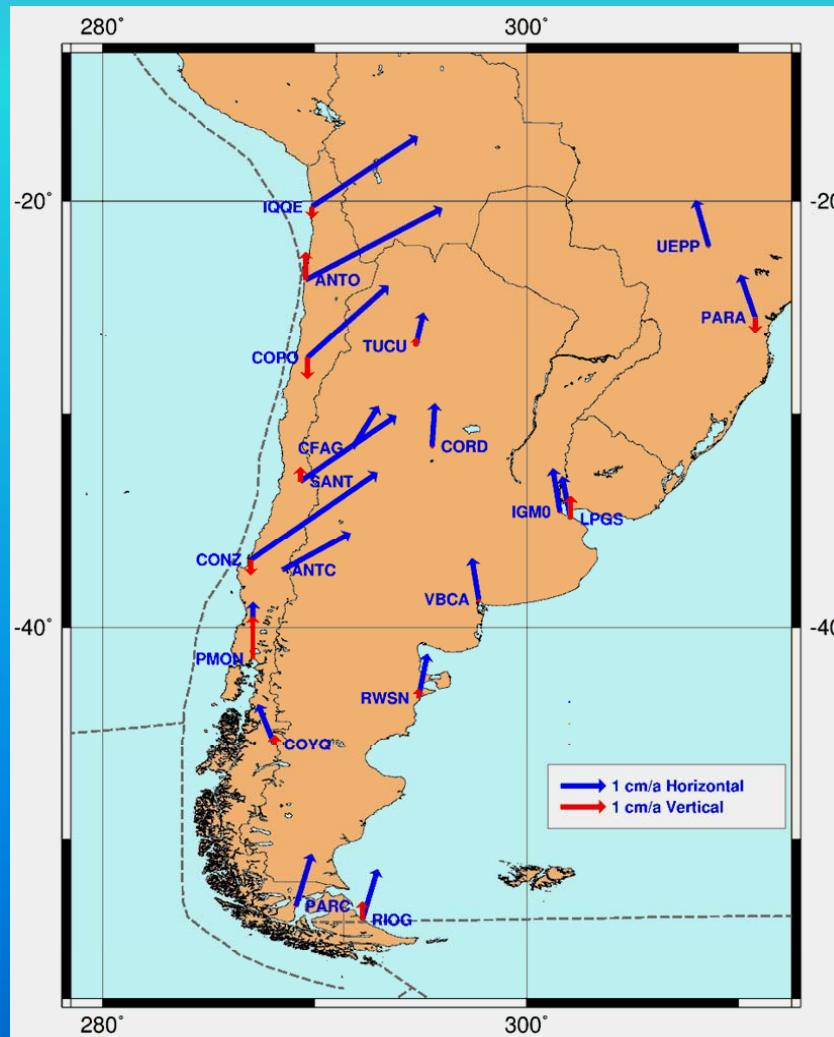


Figure 1.1: Scheme of the earthquake cycle deformation for a surface site above the seismogenic zone in a subduction zone. Periods of transient deformation may be superimposed on interseismic strain accumulation influencing the interface coupling.

Moreno et al, 2010



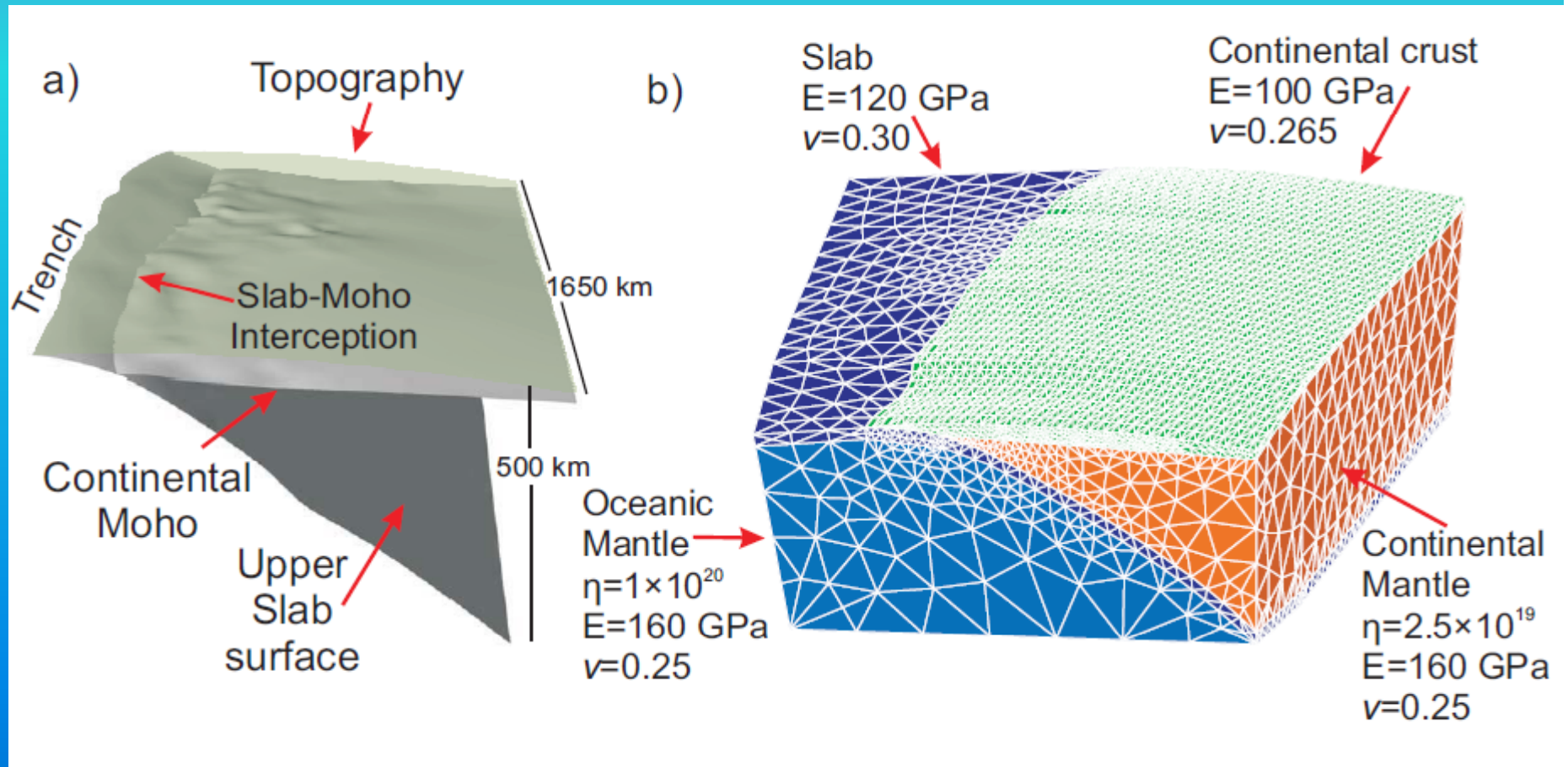
# REGIONAL OBSERVATIONS



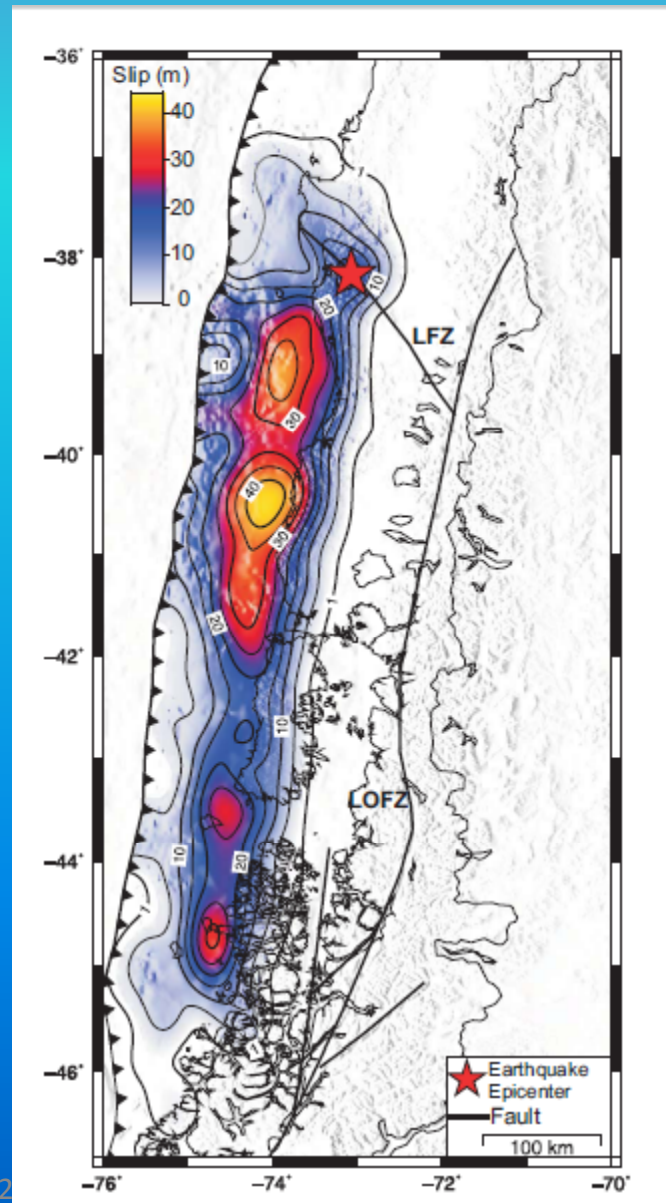
EST.	N (mm/a) $\sigma$	E (mm/a) $\sigma$	UP (mm/a) $\sigma$
ANTC	8,2 $\pm$ 0,5	15,1 $\pm$ 0,5	0,3 $\pm$ 2,1
ANTO	15,8 $\pm$ 0,9	30,2 $\pm$ 1,1	6,2 $\pm$ 3,0
CFAG	9,2 $\pm$ 1,3	5,8 $\pm$ 1,6	0,0 $\pm$ 3,3
CONZ	19,3 $\pm$ 1,0	28,1 $\pm$ 1,0	-3,5 $\pm$ 3,8
COPO	16,0 $\pm$ 1,1	17,9 $\pm$ 0,9	-4,7 $\pm$ 3,3
CORD	9,5 $\pm$ 0,7	0,6 $\pm$ 0,9	-0,4 $\pm$ 3,1
COYQ	9,0 $\pm$ 0,5	-2,2 $\pm$ 0,6	2,2 $\pm$ 1,6
IGM0	9,5 $\pm$ 1,7	-1,6 $\pm$ 0,7	-0,4 $\pm$ 3,2
IQQE	15,5 $\pm$ 1,3	23,4 $\pm$ 1,6	-2,5 $\pm$ 4,6
LPGS	9,4 $\pm$ 0,6	-1,9 $\pm$ 0,5	5,1 $\pm$ 3,1
PARA	9,4 $\pm$ 0,6	-3,3 $\pm$ 0,7	-3,5 $\pm$ 2,1
PARC	11,5 $\pm$ 0,5	3,5 $\pm$ 0,7	-0,3 $\pm$ 2,1
PMON	-12,5 $\pm$ 0,8	0,0 $\pm$ 0,6	9,4 $\pm$ 1,8
RIOG	11,2 $\pm$ 0,3	3,4 $\pm$ 0,3	4,1 $\pm$ 0,7
RWSN	9,7 $\pm$ 0,9	-2,7 $\pm$ 0,5	2,0 $\pm$ 1,5
SANT	14,4 $\pm$ 0,5	21,2 $\pm$ 0,8	3,1 $\pm$ 0,7
TUCU	7,5 $\pm$ 0,5	1,7 $\pm$ 0,8	1,9 $\pm$ 2,0
UEPP	10,2 $\pm$ 0,5	-2,9 $\pm$ 0,4	-0,4 $\pm$ 0,8
VBCA	9,0 $\pm$ 0,5	-1,5 $\pm$ 0,8	-0,7 $\pm$ 2,3



# FEM



Moreno et al, 2010

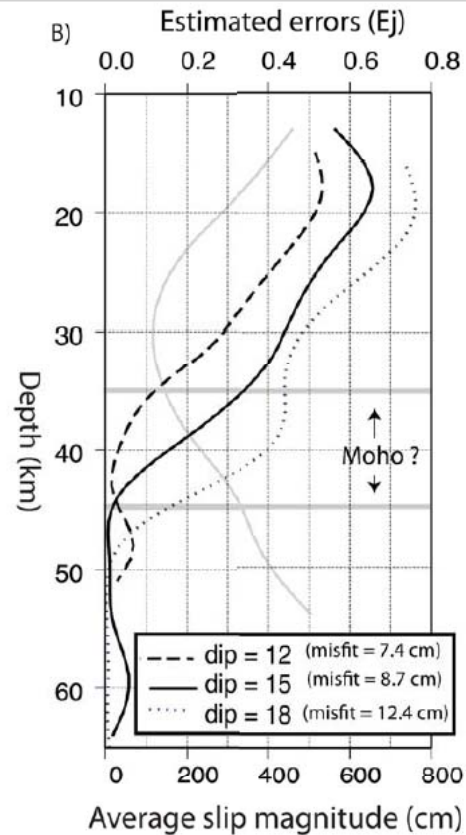
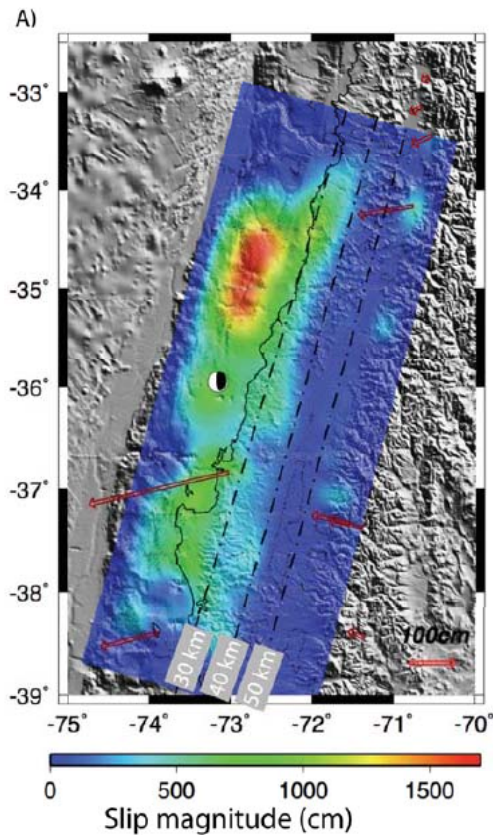


Earthquake cycle deformation and strain partitioning in the southern Andes from GPS and numerical models

Marcos Moreno, Daniel Melnick, Jan Bolte, Juergen Klotz, H. Echtler, Juan Báez, Junping Chen, Michael Bevis, Klaus Bataille, JGR2009JB007101



## INSAR/GPS



The Mw8.8 2010 Maule, Chile Earthquake: Significant slip occurred only above the continental Moho  
Xiaopeng Tong, David Sandwell, Karen Luttrell, Benjamin A. Brooks, Michael Bevis, Masanobu Shimada, James Foster, Robert Smalley Jr., Hectór Parra, Juan Baez, Mauro blanco, Eric Kendrick, Jeff Genrich, Dana Caccamise II  
GRL 2010GL045091 (in review)